

Софийски Университет „Св. Климент Охридски“
Факултет по Математика и Информатика

Гергана Иванова Бенчева, фак. № 10250

ДИПЛОМНА РАБОТА

на тема: *Бързи директни методи
за числено решаване на
елиптични уравнения с разделящи се
променливи*

специалност: Математика

специализация: Числени методи и алгоритми

научен ръководител: ст.н.с. Ист. Панайот Василевски

ръководител на катедра: акад. Борислав Боянов

София, 1998 г.

Съдържание

Увод	2
1 Постановка на задачата	5
1.1 Непрекъснатата задача	5
1.2 Дискретизация	5
1.3 Еквивалентна система алгебрични уравнения	7
2 Метод за разделяне на променливите	11
2.1 Дискретен метод за разделяне на променливите	11
2.2 Непълно решаване на задачи с разредени десни части	14
2.3 Бърз алгоритъм за разделяне на променливите (FASV)	16
2.3.1 Основна идея	16
2.3.2 FASV-прав ход	17
2.3.3 FASV-обратен ход	19
2.3.4 FASV-сложност на алгоритъма	24
3 Устойчиви марш алгоритми	28
3.1 Решаване на системи чрез блочна факторизация на матрици	28
3.2 Основна идея	29
3.3 Стандартен марш алгоритъм - MA	30
3.4 Обобщен марш алгоритъм - GMA	32
3.5 Сложност на алгоритмите MA и GMA	35
4 Числени експерименти	38
4.1 Формулировка на примерите за числени експерименти	38
4.2 Сравнителен анализ на изчислителната сложност	40
4.3 Резултати от числените експерименти	40
Библиография	45
Приложение	46

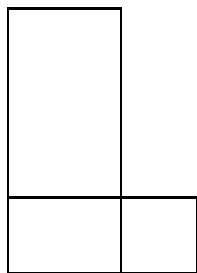
Увод

Много задачи на класическата математическа физика, представляващи математически модели на различни процеси в природата, се свеждат до гранични задачи за диференциални уравнения. Поради факта, че няма универсален начин за тяхното решаване, а и не всеки път може да се посочи аналитичен запис на точното решение, доста често се прибегва до употребата на числени методи. Все по-широкото навлизане в практиката на съвременни изчислителни машини с висока производителност и бързодействие обуславя все по-интензивното използване на дискретни методи при решаване на диференциалните уравнения.

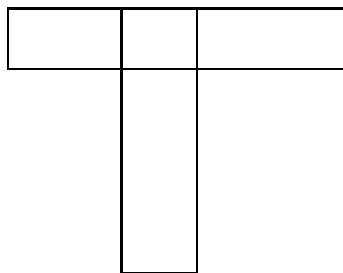
Методът на крайните разлики (МКР) и методът на крайните елементи (МКЕ) са най-често прилаганите методи за дискретизация на диференциални уравнения и водят до решаване на системи алгебрични уравнения. Матриците на такива системи са обикновено от голяма размерност, но с разрежена структура, т.е. броят на ненулевите елементи е пропорционален на броя на неизвестните. За малки размерности, в резултат на по-груба дискретизация на областта, такива системи могат да се решават с директни методи, като метод на Гаус, разлагане на триъгълни множители (LU-факторизация на матрици). При дискретизация на елиптични диференциални уравнения върху правоъгълни мрежи, в случай, че коефициентите на диференциалния оператор са константи или позволяват разделяне на променливите, за решаване на получената система могат да се използват варианти на дискретния метод за разделяне на променливите и на обобщения марш-алгоритъм. Това са някои от т.н. бързи директни методи, които всъщност са високоефективни методи за решаване на елиптични задачи с разделящи се променливи върху правоъгълна област.

Освен ограниченото самостоятелно значение, посочените директни методи имат и приложение за конструиране на преобусловители за решаване на елиптични задачи от втори ред с плавно променящи се коефициенти. При задачи, за които може да се използва метода на разделяне на областта на подобласти, като уравнение на Лаплас в L-образна (фиг. 0.1 (а)) или T-образна (фиг. 0.1 (б)) област, при предположение, че в подобластите задачата е с разделящи се променливи, също могат да се използват посочените по-горе преки методи при построяване на преобусловители за задачите в съставните области.

Решаването на елиптични задачи с разделящи се променливи в правоъгълни области има подобно приложение при задачи с локално съгъстяване на



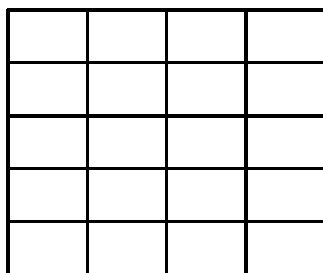
(а) L-образна област



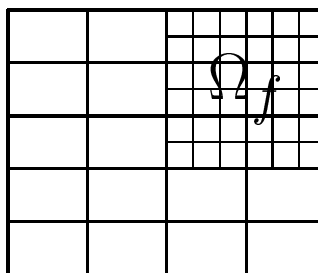
(б) T-образна област

Фигура 0.1: Разделяне на областта на подобласти

мрежата, както е показано на фиг. 0.2 (а) и фиг. 0.2 (б). Тук преобусловителят използва пряк метод върху регулярна груба мрежа (фиг. 0.2 (а)), както и



(а) Груба мрежа



(б) Фина мрежа - Ω_f

Фигура 0.2: Локално сгъстяване на мрежата

върху регулярна фина мрежа Ω_f (фиг. 0.2 (б)).

Предвид тези приложения на директните методи е важно те да са бързи, т.е. да изискват по-малък брой аритметични операции за изпълнението им.

Много от бързите директни методи са разработени за решаване на уравнението на дифузия в правоъгълна област, а първите бързи директни методи за решаване на уравнения от типа на уравнението на Поасон са предложени в средата на 60-те години.

При дискретизация на елиптични уравнения с разделящи се променливи в правоъгълна област чрез МКР по петточков шаблон „кръст“ или чрез на части линейни триъгълни крайни елементи, се получават блочно тридиагонални матрици. В такъв случай бързите директни методи могат да бъдат съществено по-бързи от итеративните методи.

В настоящата дипломна работа са разгледани стандартния дискретен алгоритъм за разделяне на променливите (SV) и бърз алгоритъм за разделяне на променливите (FASV), както и стандартен и обобщен марш алгоритъм за решаване на двумерна елиптична гранична задача на Дирихле от втори ред

с разделящи се променливи в правоъгълна област (глава 1), дискретизирана върху равномерна $n \times m$ мрежа.

Бързият алгоритъм за разделяне на променливите (FASV) се основава на техниката на четно-нечетна блочна елиминация в комбинация с дискретния метод за разделяне на променливите (SV). В общия случай на задачи с разделящи се променливи, за прилагане на SV се изискват всички собствени стойности и собствени вектори на една от двете тридиагонални матрици, с чиято помощ се конструира матрицата на изходната система. При FASV са необходими всички собствени стойности и по три компоненти от всички собствени вектори на една от споменатите матрици, както и на определени нейни подматрици.

При FASV общата изчислителна сложност $\mathcal{O}(m^2n)$ на алгоритъма SV, се редуцира до $\mathcal{O}(nm \log m + n^2)$ аритметични операции.

В глава 2 на дипломната работа е изложено описанието на SV и FASV и описанието на техниката за непълно решаване на задачи с разредени десни части, която е в основата на FASV. Дадена е също оценка за общия брой операции, необходими за изпълнението на тези алгоритми. Целта на дипломната работа е да се направи реализация на MATLAB на тези алгоритми, за решаване на двумерна елиптична гранична задача на Дирихле с разделящи се променливи за правоъгълна област - коефициентите на диференциалния оператор са функции и граничните условия на Дирихле са в общ вид.

В глава 3 е конструирана устойчива версия на обобщения марш алгоритъм като е приложен бързия алгоритъм за разделяне на променливите.

Резултатите от проведените числени експерименти са показани в глава 4, а към дипломната работа е приложен и текста на програмата със съответните коментари.

Глава 1

Постановка на задачата

В тази глава е формулирана изходната диференциална задача, показано е накратко как от нея може да се получи дискретна задача, използвайки диференчна апроксимация по петточков шаблон „кръст“ върху равномерна мрежа. В зависимост от начина на подреждане на неизвестните, по хоризонтални или по вертикални линии, диференчната задача е записана в матричен вид по два различни начина като система линейни алгебрични уравнения.

1.1 Непрекъснатата задача

Елиптичните задачи описват редица важни процеси; други по-сложни задачи се свеждат до решаване на елиптични задачи на всяка стъпка след линеаризация. При много физични задачи се среща уравнението на Поасон (Poisson) ($-\Delta u = f$), което го прави важен частен случай на елиптичните уравнения.

Разглежда се хомогенна задача на Дирихле (Dirichlet) за елиптично уравнение от втори ред с разделящи се променливи от вида:

$$\left| \begin{array}{l} -\sum_{s=1}^2 \frac{\partial}{\partial x_s} \left(a_s(x_s) \frac{\partial u}{\partial x_s} \right) = f(x), \quad x \in \Omega \\ u = 0, \quad \text{върху } \partial\Omega \end{array} \right., \quad (1.1.1)$$

където $x = (x_1, x_2)$ и $\Omega = (0, 1)^2$. Коефициентите $a_s(x_s)$ са достатъчно гладки функции, такива че $0 < c_1 \leq a_s(x_s) \leq c_2$, $s = 1, 2$ ($c_1 > 0$, $c_2 > 0$ са константи), дясната страна $f(x)$ и търсената функция $u(x)$ са непрекъснати в $\bar{\Omega} = \Omega \cup \partial\Omega$.

1.2 Дискретизация

Задача (1.1.1) се дискретизира, като се използва диференчна апроксимация с грешка $\mathcal{O}(|h|^2)$ (където $|h|^2 = h_1^2 + h_2^2$), по петточков шаблон „кръст“ върху равномерна мрежа (Самарский [4]).

Нека вътрешните възли на мрежата са

$$(x_1^i, x_2^j) = (i h_1, j h_2), \quad i = 1, \dots, n, \quad j = 1, \dots, m$$

$$h_1 = \frac{1}{n+1}, \quad h_2 = \frac{1}{m+1}.$$

Всеки от диференциалните оператори

$$\frac{\partial}{\partial x_s} \left(a_s(x_s) \frac{\partial u}{\partial x_s} \right), \quad s = 1, 2$$

се апроксимира с диференчен оператор от вида

$$\frac{1}{h_s} \left(b_{s,+1} \frac{u^{+1_s} - u}{h_s} - b_s \frac{u - u^{-1_s}}{h_s} \right), \quad s = 1, 2, \quad (1.2.2)$$

където

$$b_s = a_s(x_s - \frac{1}{2} h_s),$$

$$u^{\alpha 1} = u(x_1 + \alpha h_1, x_2), \quad u^{\alpha 2} = u(x_1, x_2 + \alpha h_2), \quad \alpha = 1, -1,$$

$$b_{s,+1} = a_s((x_s - \frac{1}{2} h_s) + h_s) = a_s(x_s + \frac{1}{2} h_s).$$

За апроксимация на дясната страна $f(x)$ се взима мрежова функция $\varphi(x)$ такава, че $\varphi(x) - f(x) = \mathcal{O}(|h|^2)$. Понеже $f(x)$ е непрекъснатата, може да се вземе $\varphi(x) = f(x)$ за $x \in \{(x_1^i, x_2^j), i = 1, \dots, n, j = 1, \dots, m\}$.

Като се въведе означението $f_{i,j} = f(x_1^i, x_2^j)$, на диференциалната задача (1.1.1) се съпоставя следната диференчна задача на Дирихле

$$\left\{ \begin{array}{l} -\frac{1}{h_1^2} \left(a_{1,i-\frac{1}{2}} y_{i-1,j} - (a_{1,i+\frac{1}{2}} + a_{1,i-\frac{1}{2}}) y_{i,j} + a_{1,i+\frac{1}{2}} y_{i+1,j} \right) \\ -\frac{1}{h_2^2} \left(a_{2,j-\frac{1}{2}} y_{i,j-1} - (a_{2,j+\frac{1}{2}} + a_{2,j-\frac{1}{2}}) y_{i,j} + a_{2,j+\frac{1}{2}} y_{i,j+1} \right) \\ \qquad \qquad \qquad = f_{i,j}, \quad i = 1, \dots, n, \quad j = 1, \dots, m, \\ y_{0,j} = y_{n+1,j} = 0, \quad j = 1, \dots, m, \\ y_{i,0} = y_{i,m+1} = 0, \quad i = 1, \dots, n \end{array} \right., \quad (1.2.3)$$

имаща грешка на апроксимация $\mathcal{O}(|h|^2)$.

Нека граничните условия на Дирихле за задача (1.1.1) са ненулеви, т.е. нека те имат вида:

$$u = \mu(x), \quad \text{върху } \partial\Omega.$$

Съответната диференчна задача на Дирихле е:

$$\left\{ \begin{array}{l} -\frac{1}{h_1^2} \left(a_{1,i-\frac{1}{2}} y_{i-1,j} - (a_{1,i+\frac{1}{2}} + a_{1,i-\frac{1}{2}}) y_{i,j} + a_{1,i+\frac{1}{2}} y_{i+1,j} \right) \\ -\frac{1}{h_2^2} \left(a_{2,j-\frac{1}{2}} y_{i,j-1} - (a_{2,j+\frac{1}{2}} + a_{2,j-\frac{1}{2}}) y_{i,j} + a_{2,j+\frac{1}{2}} y_{i,j+1} \right) \\ \qquad \qquad \qquad = f_{i,j}, \quad i = 1, \dots, n, \quad j = 1, \dots, m, \\ y_{0,j} = \mu(0, x_2^j), \quad j = 1, \dots, m, \\ y_{n+1,j} = \mu(1, x_2^j), \quad j = 1, \dots, m, \\ y_{i,0} = \mu(x_1^i, 0), \quad i = 1, \dots, n, \\ y_{i,m+1} = \mu(x_1^i, 1), \quad i = 1, \dots, n \end{array} \right. . \quad (1.2.4)$$

1.3 Еквивалентна система алгебрични уравнения

Нека $T = \{t_{i,j}\}_{i,j=1}^n$ и $B = \{b_{i,j}\}_{i,j=1}^m$ са матричните представления на диференчните оператори (1.2.2) съответно за $s = 1$ и $s = 2$, т.е.

$$T = \frac{1}{h_1^2} \begin{pmatrix} a_{1,1+\frac{1}{2}} + a_{1,1-\frac{1}{2}} & -a_{1,1+\frac{1}{2}} & 0 & 0 \\ -a_{1,2-\frac{1}{2}} & a_{1,2+\frac{1}{2}} + a_{1,2-\frac{1}{2}} & -a_{1,2+\frac{1}{2}} & 0 \\ \ddots & \ddots & \ddots & \ddots \\ 0 & -a_{1,n-1-\frac{1}{2}} & a_{1,n-1+\frac{1}{2}} + a_{1,n-1-\frac{1}{2}} & a_{1,n-1+\frac{1}{2}} \\ 0 & 0 & -a_{1,n-\frac{1}{2}} & a_{1,n+\frac{1}{2}} + a_{1,n-\frac{1}{2}} \end{pmatrix},$$

$$B = \frac{1}{h_2^2} \begin{pmatrix} a_{2,1+\frac{1}{2}} + a_{2,1-\frac{1}{2}} & -a_{2,1+\frac{1}{2}} & 0 & 0 \\ -a_{2,2-\frac{1}{2}} & a_{2,2+\frac{1}{2}} + a_{2,2-\frac{1}{2}} & -a_{2,2+\frac{1}{2}} & 0 \\ \ddots & \ddots & \ddots & \ddots \\ 0 & -a_{2,m-1-\frac{1}{2}} & a_{2,m-1+\frac{1}{2}} + a_{2,m-1-\frac{1}{2}} & a_{2,m-1+\frac{1}{2}} \\ 0 & 0 & -a_{2,m-\frac{1}{2}} & a_{2,m+\frac{1}{2}} + a_{2,m-\frac{1}{2}} \end{pmatrix}.$$

T и B са тридиагонални, симетрични и положително определени матрици.

Дефиниция 1.3.1 Нека C е матрица с размерност $m_1 \times n_1$ и елементи $c_{i,j}$, а D е матрица с размерност $m_2 \times n_2$. Матрицата

$$C \otimes D = \begin{pmatrix} c_{1,1} D & c_{1,2} D & \dots & c_{1,n_1} D \\ c_{2,1} D & c_{2,2} D & \dots & c_{2,n_1} D \\ \dots & \dots & \dots & \dots \\ c_{m_1,1} D & c_{m_1,2} D & \dots & c_{m_1,n_1} D \end{pmatrix}$$

е с размерност $m_1 m_2 \times n_1 n_2$ и се нарича тензорно произведение на матриците C и D .

Ако се използва подреждане на неизвестните по хоризонтални линии, т.е. по линии $y = const$, системата (1.2.3) се представя чрез тензорно произведение на матрици по следния начин:

$$Ax = \mathbf{f}, \quad (1.3.5)$$

където

$$A = B \otimes I_n + I_m \otimes T$$

$$= \begin{pmatrix} T + b_{1,1} I_n & b_{1,2} I_n & 0 & \dots & 0 \\ b_{2,1} I_n & T + b_{2,2} I_n & b_{2,3} I_n & \dots & 0 \\ \ddots & \ddots & \ddots & \ddots & \ddots \\ 0 & \dots & b_{m-1,m-2} I_n & T + b_{m-1,m-1} I_n & b_{m-1,m} I_n \\ 0 & \dots & 0 & b_{m,m-1} I_n & T + b_{m,m} I_n \end{pmatrix},$$

$$\mathbf{x} = \begin{pmatrix} \mathbf{x}_1 \\ \mathbf{x}_2 \\ \vdots \\ \mathbf{x}_m \end{pmatrix}, \mathbf{f} = \begin{pmatrix} \mathbf{f}_1 \\ \mathbf{f}_2 \\ \vdots \\ \mathbf{f}_m \end{pmatrix},$$

$$\mathbf{x}_j = \begin{pmatrix} x_{1,j} \\ x_{2,j} \\ \vdots \\ x_{n,j} \end{pmatrix}, \mathbf{f}_j = \begin{pmatrix} f_{1,j} \\ f_{2,j} \\ \vdots \\ f_{n,j} \end{pmatrix} \in \mathbf{R}^n, j = 1, \dots, m.$$

I_n и I_m са единични матрици съответно от ред n и m , а $x_{i,j}$ е стойността на търсената функция във възел (i, j) на мрежата от точка 1.2.

Ако се използва вертикално лексикографско подреждане на неизвестните, т.е. по линии $x = const$, системата (1.2.3) се записва във вида:

$$A' \mathbf{x}' = \mathbf{f}', \quad (1.3.6)$$

където

$$A' = T \otimes I_m + I_n \otimes B$$

$$= \begin{pmatrix} B + t_{1,1} I_m & t_{1,2} I_m & 0 & \dots & 0 \\ t_{2,1} I_m & B + t_{2,2} I_m & t_{2,3} I_m & \dots & 0 \\ \ddots & \ddots & \ddots & \ddots & \ddots \\ 0 & \dots & t_{n-1,n-2} I_m & B + t_{n-1,n-1} I_m & t_{n-1,n} I_m \\ 0 & \dots & 0 & t_{n,n-1} I_m & B + t_{n,n} I_m \end{pmatrix},$$

$$\mathbf{x}' = \begin{pmatrix} \mathbf{x}'_1 \\ \mathbf{x}'_2 \\ \vdots \\ \mathbf{x}'_n \end{pmatrix}, \mathbf{f}' = \begin{pmatrix} \mathbf{f}'_1 \\ \mathbf{f}'_2 \\ \vdots \\ \mathbf{f}'_n \end{pmatrix},$$

$$\mathbf{x}'_i = \begin{pmatrix} x_{i,1} \\ x_{i,2} \\ \vdots \\ x_{i,m} \end{pmatrix}, \mathbf{f}'_i = \begin{pmatrix} f_{i,1} \\ f_{i,2} \\ \vdots \\ f_{i,m} \end{pmatrix} \in \mathbf{R}^m, i = 1, \dots, n.$$

В случая на нехомогенни гранични условия по аналогичен начин от системата (1.2.4) се получават системите

$$A\mathbf{x} = \tilde{\mathbf{f}} \quad (1.3.7)$$

и

$$A'\mathbf{x}' = \tilde{\mathbf{f}}', \quad (1.3.8)$$

където

$$\tilde{\mathbf{f}} = \begin{pmatrix} \tilde{\mathbf{f}}_1 \\ \tilde{\mathbf{f}}_2 \\ \vdots \\ \tilde{\mathbf{f}}_m \end{pmatrix}, \tilde{\mathbf{f}}_j = \begin{pmatrix} \tilde{f}_{1,j} \\ \tilde{f}_{2,j} \\ \vdots \\ \tilde{f}_{n,j} \end{pmatrix} \in \mathbf{R}^n, j = 1, \dots, m,$$

$$\tilde{\mathbf{f}}' = \begin{pmatrix} \tilde{\mathbf{f}}'_1 \\ \tilde{\mathbf{f}}'_2 \\ \vdots \\ \tilde{\mathbf{f}}'_n \end{pmatrix}, \tilde{\mathbf{f}}'_i = \begin{pmatrix} \tilde{f}'_{i,1} \\ \tilde{f}'_{i,2} \\ \vdots \\ \tilde{f}'_{i,m} \end{pmatrix} \in \mathbf{R}^m, i = 1, \dots, n,$$

а матриците A и A' и векторите \mathbf{x} и \mathbf{x}' имат вида от съответното представяне (1.3.5) или (1.3.6).

Компонентите $\tilde{f}_{i,j}$ на векторите $\tilde{\mathbf{f}}$ и $\tilde{\mathbf{f}}'$ са получени от $f_{i,j}$ след налагане на граничните условия и са определени с равенствата:

$$\tilde{f}_{1,j} = f_{1,j} + \frac{1}{h_1^2} a_{1,1-\frac{1}{2}} y_{0,j}, \quad j = 2, \dots, m-1,$$

$$\tilde{f}_{n,j} = f_{n,j} + \frac{1}{h_1^2} a_{1,n+\frac{1}{2}} y_{n+1,j}, \quad j = 2, \dots, m-1,$$

$$\tilde{f}_{i,1} = f_{i,1} + \frac{1}{h_2^2} a_{2,1-\frac{1}{2}} y_{i,1}, \quad i = 2, \dots, n-1,$$

$$\tilde{f}_{i,m} = f_{i,m} + \frac{1}{h_2^2} a_{2,m+\frac{1}{2}} y_{i,m+1}, \quad i = 2, \dots, n-1,$$

$$\tilde{f}_{1,1} = f_{1,1} + \frac{1}{h_1^2} a_{1,1-\frac{1}{2}} y_{0,1} + \frac{1}{h_2^2} a_{2,1-\frac{1}{2}} y_{1,0}$$

$$\tilde{f}_{1,m} = f_{1,m} + \frac{1}{h_1^2} a_{1,1-\frac{1}{2}} y_{0,m} + \frac{1}{h_2^2} a_{2,m+\frac{1}{2}} y_{1,m+1}$$

$$\tilde{f}_{n,1} = f_{n,1} + \frac{1}{h_1^2} a_{1,n+\frac{1}{2}} y_{n+1,1} + \frac{1}{h_2^2} a_{2,1-\frac{1}{2}} y_{n,0}$$

$$\tilde{f}_{n,m} = f_{n,m} + \frac{1}{h_1^2} a_{1,n+\frac{1}{2}} y_{n+1,m} + \frac{1}{h_2^2} a_{2,m+\frac{1}{2}} y_{n,m+1}$$

$$\tilde{f}_{i,j} = f_{i,j}, \quad i = 2, \dots, n-1, \quad j = 2, \dots, m-1.$$

Същата дискретна задача може да бъде получена, като за дискретизация на диференциалната задача (1.1.1), се използват на части линейни крайни елементи върху равномерна триъгълна мрежа.

Глава 2

Метод за разделяне на променливите

В точка 2.1 на настоящата глава е разгледан стандартния метод за разделяне на променливите (SV) за решаване на системи линейни алгебрични уравнения от вида (1.3.5) или (1.3.6). В случая на дискретизация на изходната задача върху равномерна $n \times m$ мрежа, за $m = \mathcal{O}(n)$, метода SV има изчислителна сложност $\mathcal{O}(n^3)$ аритметични операции.

Техниката за непълно решаване на задачи с разредени десни части (точка 2.2), предложена независимо от Бенегас (Benegas), Прошкурowski (Proskurowski) и Кузнецов (Kuznetsov), е в основата на бързия алгоритъм за разделяне на променливите (FASV). В точка 2.3 е описан FASV и е показано как за дискретизация върху същата мрежа, изчислителната сложност се редуцира до $\mathcal{O}(n^2 \log n)$ аритметични операции.

2.1 Дискретен метод за разделяне на променливите

При описанието на дискретния метод за разделяне на променливите, се разглежда диференчната задача (1.2.3), записана в матричния вид (1.3.6).

С $\{\mathbf{q}_k, \lambda_k\}_{k=1}^m$ са означени ортонормираните собствени вектори и съответните им собствени стойности на матрицата B , т.е. $B \mathbf{q}_k = \lambda_k \mathbf{q}_k$, $k = 1, \dots, m$. Тъй като B е симетрична и положително определена, то $\lambda_k > 0$, $k = 1, \dots, m$ и

$$\mathbf{q}_k^T \cdot \mathbf{q}_r = \delta_{k,r}, \quad k, r = 1, \dots, m,$$

където $\delta_{k,r}$ е символа на Кронекер (Kronecker).

Векторите \mathbf{x}'_i и \mathbf{f}'_i за $i = 1, \dots, n$ се разлагат в базиса $\{\mathbf{q}_k\}_{k=1}^m$:

$$\begin{aligned} \mathbf{x}'_i &= \sum_{k=1}^m \eta_{i,k} \mathbf{q}_k, \quad i = 1, \dots, n \\ \mathbf{f}'_i &= \sum_{k=1}^m \beta_{i,k} \mathbf{q}_k, \quad i = 1, \dots, n \end{aligned}, \quad (2.1.1)$$

като коефициентите на Фурие (Fourier) $\beta_{i,k}$ за \mathbf{f}'_i се определят чрез

$$\beta_{i,k} = \mathbf{f}'_i{}^T \cdot \mathbf{q}_k, \quad i = 1, \dots, n, \quad k = 1, \dots, m.$$

Решаването на системата (1.3.6) се свежда до намиране на коефициентите на Фурие $\eta_{i,k}$ за неизвестните вектори \mathbf{x}'_i .

След заместване на равенствата (2.1.1) в системата (1.3.6) и след опростяване (използвано е, че $B \mathbf{q}_k = \lambda_k \mathbf{q}_k$, $I_m \mathbf{q}_k = \mathbf{q}_k$, $k = 1, \dots, m$) се получава:

$$\begin{cases} \sum_{k=1}^m ((\lambda_k + t_{1,1}) \eta_{1,k} + t_{1,2} \eta_{2,k}) \mathbf{q}_k & = \sum_{k=1}^m \beta_{1,k} \mathbf{q}_k \\ \dots \\ \sum_{k=1}^m (t_{i,i-1} \eta_{i-1,k} + (\lambda_k + t_{i,i}) \eta_{i,k} + t_{i,i+1} \eta_{i+1,k}) \mathbf{q}_k & = \sum_{k=1}^m \beta_{i,k} \mathbf{q}_k \\ \dots \\ \sum_{k=1}^m (t_{n,n-1} \eta_{n-1,k} + (\lambda_k + t_{n,n}) \eta_{n,k}) \mathbf{q}_k & = \sum_{k=1}^m \beta_{n,k} \mathbf{q}_k \end{cases} \quad (2.1.2)$$

Тъй като системата вектори $\{\mathbf{q}_k\}_{k=1}^m$ е линейно независима и образува базис, то коефициентите пред съответните вектори от двете страни на уравненията в (2.1.2) трябва да са равни. Следователно за всяко $k = 1, \dots, m$ се получава система от вида:

$$\begin{cases} (\lambda_k + t_{1,1}) \eta_{1,k} + t_{1,2} \eta_{2,k} & = \beta_{1,k} \\ \dots \\ t_{i,i-1} \eta_{i-1,k} + (\lambda_k + t_{i,i}) \eta_{i,k} + t_{i,i+1} \eta_{i+1,k} & = \beta_{i,k} \\ \dots \\ t_{n,n-1} \eta_{n-1,k} + (\lambda_k + t_{n,n}) \eta_{n,k} & = \beta_{n,k} \end{cases}$$

или в матричен вид

$$(\lambda_k I_m + T) \eta_k = \beta_k, \quad k = 1, \dots, m,$$

където

$$\eta_k = \begin{pmatrix} \eta_{1,k} \\ \eta_{2,k} \\ \vdots \\ \eta_{n,k} \end{pmatrix}, \quad \beta_k = \begin{pmatrix} \beta_{1,k} \\ \beta_{2,k} \\ \vdots \\ \beta_{n,k} \end{pmatrix}, \quad k = 1, \dots, m.$$

С други думи, за да се намерят неизвестните $\eta_{i,k}$, $i = 1, \dots, n$, $k = 1, \dots, m$, трябва да се решат m независими една от друга тридиагонални системи, с матрици с размерност $n \times n$. Всяка една от тях може да се реши чрез $LD^{-1}U$ факторизация, която в случая на тридиагонална матрица е добре известният метод на прогонката.

Дискретният алгоритъм за разделяне на променливите може да се опише по следния начин:

Алгоритъм 1 (Разделяне на променливите - SV)

Стъпка 0 *Намиране* на собствените вектори и собствените стойности $\{\mathbf{q}_k, \lambda_k\}_{k=1}^m$ на тридиагоналната матрица B .

Стъпка 1 *Пресмятане* на коефициентите на Фурие $\beta_{i,k}$ за векторите \mathbf{f}'_i , използвайки

$$\beta_{i,k} = \mathbf{f}'_i{}^T \cdot \mathbf{q}_k, \quad i = 1, \dots, n, \quad k = 1, \dots, m.$$

Стъпка 2 *Решаване* на m системи с тридиагонални матрици от ред n от вида

$$(\lambda_k I_n + T) \eta_k = \beta_k, \quad k = 1, \dots, m,$$

с цел да се получат коефициентите на Фурие $\eta_{i,k}$.

Стъпка 3 *Възстановяване* на решението на системата (1.3.6) (или (1.3.5)) въз основа на коефициентите на Фурие $\{\eta_{i,k}\}_{i=1, k=1}^n, m$ на векторите \mathbf{x}_i . Има две възможности:

$$\text{вертикално възстановяване: } \mathbf{x}'_i = \sum_{k=1}^m \eta_{i,k} \mathbf{q}_k, \quad i = 1, \dots, n$$

$$\text{хоризонтално възстановяване: } \mathbf{x}_j = \sum_{k=1}^m q_{j,k} \eta_k, \quad j = 1, \dots, m$$

Методът на разделяне на променливите (**Алгоритъм 1**) изисква:

За стъпка 0 — $\mathcal{O}(m^3)$ аритметични операции за намиране на двойките собствени вектори и собствени стойности.

За стъпка 1 — $2m^2n$ аритметични операции.

За стъпка 2 — $m(5n - 4)$ аритметични операции за решаване на m тридиагонални системи, като допълнително са необходими

$$m[n \text{ деления} + 3(n - 1) \text{ други операции}]$$

за точна $LD^{-1}U$ факторизация на матриците $\lambda_k I_n + T$, $k = 1, \dots, m$.

За стъпка 3 — $2m^2n$ аритметични операции.

Този резултат може да се обобщи в следната

Теорема 2.1.1 Алгоритъмът за разделяне на променливите за решаване на система с блочно-тридиагонална матрица с размерност $mn \times mn$ изисква

$$4m^2n + m(5n - 4)$$

аритметични операции в частта за решаване,

$$m[n \text{ деления} + 3(n - 1) \text{ други операции}]$$

за факторизация на тридиагонални матрици и $\mathcal{O}(m^3)$ аритметични операции за намиране на необходимите собствени вектори и собствени стойности.

В случая $m = \mathcal{O}(n)$, който се среща често на практика, за изпълнение на алгоритъма са необходими $\mathcal{O}(n^3)$ аритметични операции.

2.2 Непълно решаване на задачи с разредени десни части

В тази точка се описва т.н. техника за непълно решаване на задачи от вида (1.3.5) $Ax = f$ с разредена дясна част.

Предполага се, че дясната част f има само d ($d \ll m$) ненулеви блочни компоненти f_j и те са зададени с индексите j_1, j_2, \dots, j_d , т.е.

$$f_j = 0 \text{ за } j \neq j_1, j_2, \dots, j_d$$

Тогава всеки вектор $f'_i, i = 1, \dots, n$ от пренаредения вектор дясна част има по d ненулеви скалярни компоненти $f_{i,j_s}, s = 1, \dots, d$.

Допуска се също, че се търсят r ($r \ll m$) блочни компоненти x_j на решението x и нека те са

$$x_{j'_1}, x_{j'_2}, \dots, x_{j'_r}.$$

Следователно за $i = 1, \dots, n$ трябва да се пресметнат само част от компонентите на x'_i , а именно j'_1, j'_2, \dots, j'_r -тите компоненти на всички $x'_i, i = 1, \dots, n$.

За да се намерят необходимите компоненти на решението се прилага алгоритъма за разделяне на променливите (**Алгоритъм 1**) по следния начин:

Алгоритъм 2 (За непълно решаване на задачи с разредени десни части - SRHS)

Стъпка 0 Намиране на всички собствени стойности и на d компоненти от всички собствени вектори на тридиагоналната матрица B .

Стъпка 1 Изчисляване на коефициентите на Фурие $\beta_{i,k}$ на \mathbf{f}'_i от уравненията

$$\beta_{i,k} = \mathbf{q}_k^T \cdot \mathbf{f}'_i = \sum_{s=1}^d q_{j_s,k} f_{i,j_s}, \quad i = 1, \dots, n, \quad k = 1, \dots, m.$$

Стъпка 2 Решаване на m системи линейни уравнения с тридиагонални матрици от ред n от вида

$$(\lambda_k I_n + T) \eta_k = \beta_k, \quad k = 1, \dots, m.$$

Стъпка 3 Възстановяване на r компоненти на решението по редове, използвайки формулите $\mathbf{x}_j = \sum_{k=1}^m q_{j,k} \eta_k$, $j = 1, \dots, m$.

Алгоритъм 2 (за непълно решаване на задачи с разреждени десни части) изисква следния брой аритметични операции:

За стъпка 0 — $\mathcal{O}(d m^2)$ аритметични операции за намиране на d компоненти на всички собствени вектори и $9m^2$ аритметични операции за намиране на всички собствени стойности.

За стъпка 1 — $2 d m n$ аритметични операции (само d компоненти на \mathbf{f}'_i са ненулеви).

За стъпка 2 — $m(5n - 4)$ аритметични операции за решаване на m тридиагонални системи и допълнително

$$m[n \text{ деления} + 3(n - 1) \text{ други операции}]$$

за точна $LD^{-1}U$ факторизация на матриците $\lambda_k I_n + T$, $k = 1, \dots, m$.

За стъпка 3 — $2 r m n$ аритметични операции, защото се търсят само r компоненти на решението.

Този резултат се обобщава в следната

Теорема 2.2.1 Алгоритъмът за разделяне на променливите за решаване на задача (1.3.5) с разреждена дясна част, например за която $\mathbf{f}_j = 0$ за $j \neq j_1, j_2, \dots, j_d$ и когато се търсят само част от компонентите на решението, именно \mathbf{x}_j за $j = j'_1, j'_2, \dots, j'_r$ изисква

$$m[2(r + d)n + (5n - 4)]$$

аритметични операции за решаване,

$$m[n \text{ деления} + 3(n - 1) \text{ други операции}]$$

за факторизация на тридиагоналните матрици $\lambda_k I_n + T$ и $\mathcal{O}(d m^2) + 9m^2$ аритметични операции за намиране на всички собствени стойности и на d компоненти на всички собствени вектори.

2.3 Бърз алгоритъм за разделяне на променливите (FASV)

2.3.1 Основна идея

Подобно на други директни методи като Гаусова елиминация, FASV се състои от прав и обратен ход.

За удобство при изложението се предполага, че

$$m = 2^l - 1.$$

На всяка стъпка блоковете на матрицата A се групират по подходящ начин, а именно:

$$A = \begin{pmatrix} A^{(k,1)} & A_{1,2}^{(k)} & 0 & \dots & 0 \\ A_{2,1}^{(k)} & T + b_{2^k, 2^k} I_n & A_{2,3}^{(k)} & \dots & 0 \\ 0 & A_{3,2}^{(k)} & A^{(k,2)} & \dots & 0 \\ \vdots & \ddots & \ddots & \ddots & \vdots \\ 0 & \dots & 0 & A_{2^{l-k+1}-1, 2^{l-k+1}-2}^{(k)} & A^{(k, 2^{l-k})} \end{pmatrix},$$

където матриците $A^{(k,s)}$ се определят с формулите

$$A^{(k,s)} = I_{2^{k-1}} \otimes T + B_k^{(s)} \otimes I_n, \quad s = 1, 2, \dots, 2^{l-k}.$$

Матриците $B_k^{(s)}$ са подматрици на матрицата B и имат вида:

$$B_k^{(s)} = \begin{pmatrix} b_{s_k+1, s_k+1} & b_{s_k+1, s_k+2} & 0 & \dots & 0 \\ b_{s_k+2, s_k+1} & b_{s_k+2, s_k+2} & b_{s_k+2, s_k+3} & \dots & 0 \\ \vdots & \ddots & \ddots & \ddots & \vdots \\ 0 & \dots & 0 & b_{s_k+2^k-1, s_k+2^k-2} & b_{s_k+2^k-1, s_k+2^k-1} \end{pmatrix},$$

където $s_k = (s-1)2^k$.

С други думи, всяка от матриците $A^{(k,s)}$ и $B_k^{(s)}$, $1 \leq k \leq l$, $1 \leq s \leq 2^{l-k}$ има $2^k - 1$ блока от ред n .

Целта е на всяка стъпка на правия и обратния ход да може да се прилага алгоритъма за непълно решаване на задачи с разреждени десни части.

На всяка стъпка на правия ход се конструират вектори $\mathbf{x}^{(k)}$ от решенията на системи с матрици $A^{(k,s)}$ и дясна част, съответния блок на вектор $\mathbf{f}^{(k)}$, с една ненулева блочна компонента. Блоковете на $\mathbf{x}^{(k)}$, съответстващи на матриците $T + b_{s_{2^k}, s_{2^k}} I_n$ се нулират. Векторите $\mathbf{f}^{(k)}$ за всяка следваща стъпка се определят чрез формулата

$$\mathbf{f}^{(k+1)} = \mathbf{f}^{(k)} - A\mathbf{x}^{(k)}, \quad (\mathbf{f}^{(1)} = \mathbf{f})$$

и имат разреден вид.

По този начин, при нарастване на k , броят на нулевите компоненти на конструираниите вектори $\mathbf{x}^{(k)}$ намалява, а този на дясната част $\mathbf{f}^{(k)}$ - се увеличава.

Показва се, че решението на изходната задача може да се разложи във вида:

$$\mathbf{x} = \mathbf{x}^{(1)} + \mathbf{x}^{(2)} + \dots + \mathbf{x}^{(l)}.$$

При обратния ход отново се решават системи с матриците $A^{(k,s)}$, но десните части имат по две ненулеви блочни компоненти и се конструират, като се използва разлагането на \mathbf{x} и начина на образуване на $\mathbf{f}^{(k)}$. Освен това те се решават непълно, като се търси само по една блочна компонента на решението.

Характерното е, че решението на изходната задача (1.3.5) се възстановява постепенно - най-напред една компонента ($\mathbf{x}_{2^{l-1}}$), след това - две ($\mathbf{x}_{2^{l-2}}$ и $\mathbf{x}_{3,2^{l-2}}$), след това - четири ($\mathbf{x}_{2^{l-3}}$, $\mathbf{x}_{3,2^{l-3}}$, $\mathbf{x}_{5,2^{l-3}}$ и $\mathbf{x}_{7,2^{l-3}}$) и т.н., докато се възстановят всички компоненти на решението.

В следващите две точки се описват подробно правия и обратния ход на алгоритъма FASV.

2.3.2 FASV-прав ход

Правият ход на алгоритъма FASV се състои от няколко стъпки.

На първата стъпка се полага

$$\mathbf{f}^{(1)} = \mathbf{f}.$$

За да се осигури разреждана блочна структура на дясната част на разглежданата система за всяка следваща стъпка k , $\mathbf{f}^{(k+1)}$ (за $k = 1, \dots, l-1$) се определя като вектор от остатъци:

$$\mathbf{f}^{(k+1)} = \mathbf{f}^{(k)} - A\mathbf{x}^{(k)}. \quad (2.3.3)$$

Векторът $\mathbf{x}^{(k)}$, за всяко $k = 1, \dots, l-1$, се конструира по следния начин: Решават се задачите

$$A^{(k,s)} \mathbf{x}^{(k,s)} = \mathbf{f}^{(k,s)}, \quad s = 1, 2, \dots, 2^{l-k},$$

където

$$\mathbf{x}^{(k,s)} = \begin{pmatrix} \mathbf{x}_{s_k+1}^{(k)} \\ \mathbf{x}_{s_k+2}^{(k)} \\ \vdots \\ \mathbf{x}_{s_k+2^k-1}^{(k)} \end{pmatrix} \text{ и } \mathbf{f}^{(k,s)} = \begin{pmatrix} \mathbf{0} \\ \mathbf{f}_{s_k+2^k-1}^{(k)} \\ \mathbf{0} \end{pmatrix} \left. \begin{array}{l} \} 2^{k-1} - 1 \text{ блока} \\ \} 1 \text{ блок} \\ \} 2^{k-1} - 1 \text{ блока} \end{array} \right\}$$

Освен това се полага $\mathbf{x}_{s2^k}^{(k)} = 0$ за $s = 1, 2, \dots, 2^{l-k} - 1$ и $\mathbf{x}^{(k)}$ и $\mathbf{f}^{(k)}$ са всъщност векторите

$$\mathbf{x}^{(k)} = \left(\begin{array}{c} \mathbf{x}^{(k,1)} \\ \mathbf{0} \\ \mathbf{x}^{(k,2)} \\ \mathbf{0} \\ \vdots \\ \mathbf{x}^{(k,2^{l-k})} \end{array} \right) \left. \begin{array}{l} \} \\ \} \\ \} \\ \} \\ \} \\ \} \end{array} \right\} \begin{array}{l} 2^k - 1 \text{ блока} \\ 1 \text{ блок} \\ 2^k - 1 \text{ блока} \\ 1 \text{ блок} \\ \vdots \\ 2^k - 1 \text{ блока} \end{array}, \quad \mathbf{f}^{(k)} = \left(\begin{array}{c} \mathbf{f}^{(k,1)} \\ \mathbf{f}_{2^k}^{(k)} \\ \mathbf{f}^{(k,2)} \\ \mathbf{f}_{2 \cdot 2^k}^{(k)} \\ \vdots \\ \mathbf{f}^{(k,2^{l-k})} \end{array} \right) \left. \begin{array}{l} \} \\ \} \\ \} \\ \} \\ \} \\ \} \end{array} \right\} \begin{array}{l} 2^k - 1 \text{ блока} \\ 1 \text{ блок} \\ 2^k - 1 \text{ блока} \\ 1 \text{ блок} \\ \vdots \\ 2^k - 1 \text{ блока} \end{array} \quad (2.3.4)$$

Векторите $\mathbf{x}^{(k)}$ и $\mathbf{f}^{(k)}$ от (2.3.4) се заместват в (2.3.3) и след преобразуване, за вектора $\mathbf{f}^{(k+1)}$ се получава

$$\mathbf{f}^{(k+1)} = \left(\begin{array}{c} \mathbf{0} \\ \mathbf{f}_{1 \cdot 2^k}^{(k+1)} \\ \mathbf{0} \\ \mathbf{f}_{2 \cdot 2^k}^{(k+1)} \\ \vdots \\ \mathbf{f}_{(2^{l-k}-1) \cdot 2^k}^{(k+1)} \\ \mathbf{0} \end{array} \right) \left. \begin{array}{l} \} \\ \} \\ \} \\ \} \\ \} \\ \} \end{array} \right\} \begin{array}{l} 2^k - 1 \text{ блока} \\ 1 \text{ блок} \\ 2^k - 1 \text{ блока} \\ 1 \text{ блок} \\ \vdots \\ 1 \text{ блок} \\ 2^k - 1 \text{ блока} \end{array}.$$

По-точно векторът $\mathbf{f}^{(k+1)}$ може да има ненулеви блочни компоненти $\mathbf{f}_i^{(k+1)}$ само за $i = s2^k$, $s = 1, 2, \dots, 2^{l-k} - 1$ и те се дават с формулата:

$$\mathbf{f}_{s2^k}^{(k+1)} = \mathbf{f}_{s2^k}^{(k)} - A_{2s,2s-1}^{(k)} \mathbf{x}^{(k,s)} - A_{2s,2s+1}^{(k)} \mathbf{x}^{(k,s+1)}. \quad (2.3.5)$$

Въвежда се означението

$$\mathbf{f}^{(k+1,s')} = \left(\begin{array}{c} \mathbf{0} \\ \mathbf{f}_{s2^k}^{(k+1)} \\ \mathbf{0} \end{array} \right) \left. \begin{array}{l} \} \\ \} \\ \} \end{array} \right\} \begin{array}{l} 2^k - 1 \text{ блока} \\ 1 \text{ блок} \\ 2^k - 1 \text{ блока} \end{array}$$

където $s = 2^{s'} - 1$, $s' = 1, 2, \dots, 2^{l-k-1}$ и $\mathbf{f}^{(k+1)}$ получава същия вид като вида на $\mathbf{f}^{(k)}$ в (2.3.4). По този начин броят на ненулеви компоненти на $\mathbf{f}^{(k)}$ на всяка стъпка намалява наполовина.

Пример: При $l = 4$, $m = 2^4 - 1 = 15$, векторите $\mathbf{f}^{(k)}$, $k = 1, \dots, 4$ ще имат следните ненулеви блокове:

$$\begin{array}{l} \mathbf{f}^{(1)} : \quad \mathbf{f}_1^{(1)} \quad \mathbf{f}_2^{(1)} \quad \mathbf{f}_3^{(1)} \quad \mathbf{f}_4^{(1)} \quad \mathbf{f}_5^{(1)} \quad \mathbf{f}_6^{(1)} \quad \mathbf{f}_7^{(1)} \quad \mathbf{f}_8^{(1)} \quad \mathbf{f}_9^{(1)} \quad \mathbf{f}_{10}^{(1)} \quad \mathbf{f}_{11}^{(1)} \quad \mathbf{f}_{12}^{(1)} \quad \mathbf{f}_{13}^{(1)} \quad \mathbf{f}_{14}^{(1)} \quad \mathbf{f}_{15}^{(1)} \\ \mathbf{f}^{(2)} : \quad \quad \mathbf{f}_2^{(2)} \quad \quad \mathbf{f}_4^{(2)} \quad \quad \mathbf{f}_6^{(2)} \quad \quad \mathbf{f}_8^{(2)} \quad \quad \mathbf{f}_{10}^{(2)} \quad \quad \mathbf{f}_{12}^{(2)} \quad \quad \mathbf{f}_{14}^{(2)} \\ \mathbf{f}^{(3)} : \quad \quad \quad \mathbf{f}_4^{(3)} \quad \quad \quad \mathbf{f}_8^{(3)} \quad \quad \quad \mathbf{f}_{12}^{(3)} \\ \mathbf{f}^{(4)} : \quad \quad \quad \quad \mathbf{f}_8^{(4)} \end{array}$$

За да се опростят равенствата (2.3.5) е необходимо да се знае как изглеждат матриците $A_{i,j}^{(k)}$. За една матрица $A^{(k,s)}$ има четири матрици $A_{i,j}^{(k)}$:

$$\begin{array}{ccccccc} & & \vdots & & \vdots & & \vdots \\ \dots & & A^{(k,s)} & & A_{2s-1,2s}^{(k)} & & 0 & \dots \\ \dots & & A_{2s,2s-1}^{(k)} & & T + b_{s2^k,s2^k} I_n & & A_{2s,2s+1}^{(k)} & \dots \\ \dots & & 0 & & A_{2s+1,2s}^{(k)} & & A^{(k,s+1)} & \dots \\ & & \vdots & & \vdots & & \vdots & \end{array},$$

където

$$A_{2s,2s-1}^{(k)} = (0, \dots, 0, b_{s_k+2^k, s_k+2^k-1} I_n), \quad A_{2s,2s+1}^{(k)} = (b_{s_k+2^k, s_k+2^k+1} I_n, 0, \dots, 0),$$

$$A_{2s-1,2s}^{(k)} = \begin{pmatrix} 0 \\ \vdots \\ 0 \\ b_{s2^k-1, s2^k} I_n \end{pmatrix}, \quad A_{2s+1,2s}^{(k)} = \begin{pmatrix} b_{s2^k+1, s2^k} I_n \\ 0 \\ \vdots \\ 0 \end{pmatrix}.$$

След опростяване на произведенията $A_{2s,2s-1}^{(k)} \mathbf{x}^{(k,s)}$ и $A_{2s,2s+1}^{(k)} \mathbf{x}^{(k,s+1)}$, за ненулеви блокове на $\mathbf{f}^{(k+1)}$ се получава

$$\begin{aligned} \mathbf{f}_{s2^k}^{(k+1)} &= \mathbf{f}_{s2^k}^{(k)} - b_{s2^k, s2^k-1} \mathbf{x}_{2^k-1}^{(k,s)} - b_{s2^k, s2^k+1} \mathbf{x}_1^{(k,s+1)} \\ &= \mathbf{f}_{s2^k}^{(k)} - b_{s2^k, s2^k-1} \mathbf{x}_{s2^k-1}^{(k)} - b_{s2^k, s2^k+1} \mathbf{x}_{s2^k+1}^{(k)}. \end{aligned} \quad (2.3.6)$$

Т.е. за пресмятане на ненулеви компоненти на $\mathbf{f}^{(k+1)}$ са необходими по две блочни компоненти на всяко $\mathbf{x}^{(k,s)}$ именно $\mathbf{x}_1^{(k,s)}$ и $\mathbf{x}_{2^k-1}^{(k,s)}$. При възстановяване на решението на обратния ход е необходима още компонентата $\mathbf{x}_{2^k-1}^{(k,s)}$ (вж.2.3.3).

Следователно задачите

$$A^{(k,s)} \mathbf{x}^{(k,s)} = \mathbf{f}^{(k,s)}, \quad s = 1, 2, \dots, 2^{l-k}$$

имат разредена дясна част с една ненулева блочна компонента ($\mathbf{f}_{2^k-1}^{(k,s)}$) и могат да се решават непълно като се търсят три блочни компоненти на решението.

Може да се приложи **Алгоритъм 2** с брой ненулеви блокове в дясната част - $d = 1$, брой на търсените блочни компоненти на решението - $r = 3$ и размерност на блоковете $B_k^{(s)}$ - $m = 2^k - 1$.

Забележка: Матриците $A^{(k,s)}$ позволяват разделяне на променливите, защото са от същия вид като изходната матрица A , но B е заменена с нейна главна подматрица $B_k^{(s)}$.

2.3.3 FASV-обратен ход

При описанието на обратния ход на FASV ще са необходими следните факти:

1) Решението на системата $A\mathbf{x} = \mathbf{f}$ може да се разложи като сума на векторите $\mathbf{x}^{(k)}$, $k = 1, \dots, l$:

$$\mathbf{x} = \mathbf{x}^{(1)} + \mathbf{x}^{(2)} + \dots + \mathbf{x}^{(l)}. \quad (2.3.7)$$

За доказателство на това равенство се използва твърдеството

$$\mathbf{f}^{(1)} - \mathbf{f}^{(l+1)} = \sum_{k=1}^l (\mathbf{f}^{(k)} - \mathbf{f}^{(k+1)}).$$

В него $\mathbf{f}^{(k+1)}$ се замества с равното му от (2.3.3) и след преобразуване се получава, че

$$\mathbf{f}^{(1)} - \mathbf{f}^{(l+1)} = \sum_{k=1}^l A\mathbf{x}^{(k)} = A \left(\sum_{k=1}^l \mathbf{x}^{(k)} \right).$$

От тук като се вземе предвид, че $\mathbf{f}^{(1)} = \mathbf{f}$ и че при $k = l$ от конструкцията

$$\mathbf{f}^{(l+1)} \equiv \mathbf{f}^{(l)} - A\mathbf{x}^{(l)} \equiv \mathbf{f}^{(l,1)} - A^{(l,1)}\mathbf{x}^{(l,1)} = 0,$$

следва исканото равенство.

2) Според конструкцията

$$\mathbf{x}_{s2^k}^{(k)} = 0 \text{ за } s = 1, 2, \dots, 2^{l-k} - 1.$$

Това равенство означава, че при нарастване на k , броят на нулевите компоненти на $\mathbf{x}^{(k)}$ намалява наполовина, като част от нулевите компоненти евентуално стават ненулеви, а другата част остават нули.

Пример: При $l = 4$, $m = 2^4 - 1 = 15$, векторите $\mathbf{x}^{(k)}$ имат нулеви компоненти на следните места:

	1	2	3	4	5	6	7	8	9	10	11	12	13	14	15
$\mathbf{x}^{(1)} :$	0		0		0		0		0		0		0		
$\mathbf{x}^{(2)} :$			0				0				0				
$\mathbf{x}^{(3)} :$								0							
$\mathbf{x}^{(4)} :$															

С други думи $\mathbf{x}_{s2^k}^{(k)} = 0$ за $k \leq k_0$. Като се вземе предвид и равенството (2.3.7) се получава, че

$$\mathbf{x}_{s2^k_0} = \left(\sum_{k=1}^l \mathbf{x}^{(k)} \right)_{s2^k_0} = \sum_{k>k_0} \mathbf{x}_{s2^k_0}^{(k)}. \quad (2.3.8)$$

При обратния ход на FASV целта е за $k = l, l-1, \dots, 1$ да се определят

$$\mathbf{x}_{(2s-1)2^{k-1}} \text{ за } s = 1, 2, \dots, 2^{l-k}.$$

Така на всяка стъпка броят на търсените компоненти на \mathbf{x} се увеличава, докато се възстанови целия вектор \mathbf{x} .

Пример: При $l = 4$, $m = 2^4 - 1 = 15$, на всяка стъпка k се търсят $\mathbf{x}_{(2^s-1)2^{k-1}}$ за $s = 1, 2, \dots, 2^{4-k}$. Решението се възстановява по следния начин:

	1	2	3	4	5	6	7	8	9	10	11	12	13	14	15
$k = 4 :$								\mathbf{x}_8							
$k = 3 :$				\mathbf{x}_4				*				\mathbf{x}_{12}			
$k = 2 :$		\mathbf{x}_2		*		\mathbf{x}_6		*		\mathbf{x}_{10}		*		\mathbf{x}_{14}	
$k = 1 :$	\mathbf{x}_1	*	\mathbf{x}_3	*	\mathbf{x}_5	*	\mathbf{x}_7	*	\mathbf{x}_9	*	\mathbf{x}_{11}	*	\mathbf{x}_{13}	*	\mathbf{x}_{15}

като * означава, че съответната компонента вече е намерена.

На първата стъпка на обратния ход, т.е. когато $k = l$, ($2^{(l-k)} = 1$, $s = 1$), трябва да се намери една блочна компонента на решението, а именно

$$\mathbf{x}_{(2^s-1)2^{k-1}} \equiv \mathbf{x}_{2^{l-1}}.$$

От друга страна, от равенството (2.3.8) за $k_0 = l - 1$ и $s = 1$ следва, че $\mathbf{x}_{2^{l-1}} = \mathbf{x}_{2^{l-1}}^{(l)}$. Това означава, че средната блочна компонента на решението \mathbf{x} на системата $A\mathbf{x} = \mathbf{f}$ се намира чрез непълно решаване (с $r = 1$) на системата

$$A\mathbf{x}^{(l)} = \mathbf{f}^{(l)}, \quad (2.3.9)$$

където $A \equiv A^{(l,1)}$, $\mathbf{x}^{(l)} = \mathbf{x}^{(l,1)}$ и $\mathbf{f}^{(l)} = \mathbf{f}^{(l,1)}$. Дясната част $\mathbf{f}^{(l)}$ е намерена на последната стъпка на правия ход и има разрежена структура с една ненулева блочна компонента, т.е. $d = 1$. (Това следва от уравнение (2.3.6)).

За следващите стъпки $k = l - 1, \dots, 1$, изхождайки от равенството (2.3.3)

$$\mathbf{f}^{(k+1)} = \mathbf{f}^{(k)} - A\mathbf{x}^{(k)}, \quad (\mathbf{f}^{(1)} \equiv \mathbf{f}),$$

се конструират системи, чието непълно решаване води до намиране на останалите компоненти на \mathbf{x} .

Тъй като

$$A\mathbf{x}^{(i)} = \mathbf{f}^{(i)} - \mathbf{f}^{(i+1)}, \quad i = 1, \dots, l,$$

то

$$\begin{aligned} A \sum_{i=k}^l \mathbf{x}^{(i)} &= \sum_{i=k}^l A\mathbf{x}^{(i)} = \sum_{i=k}^l (\mathbf{f}^{(i)} - \mathbf{f}^{(i+1)}) \\ &= \mathbf{f}^{(k)} - \mathbf{f}^{(k+1)} + \mathbf{f}^{(k+1)} - \mathbf{f}^{(k+2)} + \dots + \mathbf{f}^{(l-1)} - \mathbf{f}^{(l)} + \mathbf{f}^{(l)} - \mathbf{f}^{(l+1)} \\ &= \mathbf{f}^{(k)} - \mathbf{f}^{(l+1)} = \mathbf{f}^{(k)}. \end{aligned}$$

т.е.

$$A \sum_{i=k}^l \mathbf{x}^{(i)} = \mathbf{f}^{(k)}. \quad (2.3.10)$$

Ако матрицата A се представи в блочен вид чрез блоковете $A^{(k,s)}$ (както е показано в точка 2.3.1) и за

$$\mathbf{z}^{(k)} = \sum_{i=k}^l \mathbf{x}^{(i)}$$

и $\mathbf{f}^{(k)}$ се използва представянето

$$\mathbf{z}^{(k)} = \begin{pmatrix} \mathbf{z}^{(k,1)} \\ \mathbf{z}_{2^k}^{(k)} \\ \vdots \\ \mathbf{z}^{(k,2^{l-k})} \end{pmatrix}, \mathbf{f}^{(k)} = \begin{pmatrix} \mathbf{f}^{(k,1)} \\ \mathbf{f}_{2^k}^{(k)} \\ \vdots \\ \mathbf{f}^{(k,2^{l-k})} \end{pmatrix},$$

матричното уравнение (2.3.10) може да се запише като система от блокни уравнения по следния начин:

$$\left\{ \begin{array}{l} A^{(k,1)}\mathbf{z}^{(k,1)} + A_{1,2}^{(k)}\mathbf{z}_{2^k}^{(k)} = \mathbf{f}^{(k,1)} \\ A_{2,1}^{(k)}\mathbf{z}^{(k,1)} + (T + b_{2^k,2^k}I_n)\mathbf{z}_{2^k}^{(k)} + A_{2,3}^{(k)}\mathbf{z}^{(k,2)} = \mathbf{f}_{2^k}^{(k)} \\ \dots \\ A_{2s-1,2s-2}^{(k)}\mathbf{z}_{(s-1)2^k}^{(k)} + A^{(k,s)}\mathbf{z}^{(k,s)} + A_{2s-1,2s}^{(k)}\mathbf{z}_{s2^k}^{(k)} = \mathbf{f}^{(k,s)} \\ A_{2s,2s-1}^{(k)}\mathbf{z}^{(k,s)} + (T + b_{s,2^k,s,2^k}I_n)\mathbf{z}_{s2^k}^{(k)} + A_{2s,2s+1}^{(k)}\mathbf{z}^{(k,s+1)} = \mathbf{f}_{s2^k}^{(k)} \\ \dots \\ A_{2^{l-k+1}-1,2^{l-k+1}-2}^{(k)}\mathbf{z}_{(2^{l-k}-1)2^k}^{(k)} + A^{(k,2^{l-k})}\mathbf{z}^{(k,2^{l-k})} = \mathbf{f}^{(k,2^{l-k})} \end{array} \right. .$$

Като се вземат от нея подсистемите с матрици $A^{(k,s)}$ или, което е едно и също, за някое дадено $s \geq 1$ и $s_k = (s-1)2^k$, (s_k+1) -то, (s_k+2) -то, ..., (s_k+2^k-1) -то уравнение от тъждеството

$$\mathbf{f}^{(k)} = A \sum_{k' \geq k} \mathbf{x}^{(k')},$$

се получава

$$\begin{aligned} \mathbf{f}^{(k,s)} &= A^{(k,s)}\mathbf{z}^{(k,s)} + A_{2s-1,2s-2}^{(k)}\mathbf{z}_{(s-1)2^k}^{(k)} + A_{2s-1,2s}^{(k)}\mathbf{z}_{s2^k}^{(k)} \\ &\quad \Downarrow \\ \mathbf{f}^{(k,s)} &= A^{(k,s)} \left(\sum_{k' \geq k} \mathbf{x}_{s_k+r}^{(k')} \right)_{r=1}^{2^k-1} \\ &\quad + A_{2s-1,2s-2}^{(k)} \left(\sum_{k' \geq k} \mathbf{x}^{(k')} \right)_{(s-1)2^k} \\ &\quad + A_{2s-1,2s}^{(k)} \left(\sum_{k' \geq k} \mathbf{x}^{(k')} \right)_{s2^k} \end{aligned} \quad (2.3.11)$$

Тъй като $\mathbf{x}_{s_k}^{(k)} = 0$ и $\mathbf{x}_{s2^k}^{(k)} = 0$ и от (2.3.8) следва

$$\sum_{k' > k} \mathbf{x}_{s_k}^{(k')} = \mathbf{x}_{s_k}, \quad \sum_{k' > k} \mathbf{x}_{s2^k}^{(k')} = \mathbf{x}_{s2^k},$$

то

$$\sum_{k' \geq k} \mathbf{x}_{s_k}^{(k')} = \mathbf{x}_{s_k} \quad \text{и} \quad \sum_{k' \geq k} \mathbf{x}_{s2^k}^{(k')} = \mathbf{x}_{s2^k}.$$

Полага се

$$\mathbf{y}_r^{(k)} = \sum_{k' > k} \mathbf{x}_{s_k+r}^{(k')}$$

за $r = 1, \dots, 2^k - 1$ и (2.3.11) добива вида

$$A^{(k,s)} \mathbf{y}^{(k)} = \mathbf{f}(k, s) - A_{2s-1, 2s-2}^{(k)} \mathbf{x}_{s_k} - A_{2s-1, 2s}^{(k)} \mathbf{x}_{s2^k}. \quad (2.3.12)$$

При $k > 1$ блоковете $A_{2s-1, 2s-2}^{(k)}$ и $A_{2s-1, 2s}^{(k)}$ са

$$A_{2s-1, 2s-2}^{(k)} = A_{2(s-1)+1, 2(s-1)}^{(k)} = \begin{pmatrix} b_{(s-1)2^k+1, (s-1)2^k} I_n \\ 0 \\ \vdots \\ 0 \end{pmatrix},$$

$$A_{2s-1, 2s}^{(k)} = \begin{pmatrix} 0 \\ \vdots \\ 0 \\ b_{s2^k-1, s2^k} I_n \end{pmatrix},$$

а при $k = 1$ са

$$\begin{aligned} A_{2s-1, 2s-2}^{(k)} &= b_{(s-1)2^k+1, (s-1)2^k} I_n, \\ A_{2s-1, 2s}^{(k)} &= b_{s2^k-1, s2^k} I_n. \end{aligned}$$

Следователно (2.3.12) може да се запише във вида

$$A^{(k,s)} \mathbf{y}^{(k)} = \mathbf{f}^{(k,s)} + \hat{\mathbf{f}}^{(k,s)}, \quad (2.3.13)$$

където

$$\hat{\mathbf{f}}^{(k,s)} = \begin{cases} \begin{pmatrix} -b_{s_k+1, s_k} \mathbf{x}_{s_k} \\ 0 \\ \vdots \\ 0 \\ -b_{s2^k-1, s2^k} \mathbf{x}_{s2^k} \end{pmatrix}, & k \neq 1 \\ -b_{s_k+1, s_k} \mathbf{x}_{s_k} - b_{s2^k-1, s2^k} \mathbf{x}_{s2^k}, & k = 1 \end{cases}.$$

На всяка стъпка на обратния ход се решава непълно система от вида (2.3.13), като се търси само

$$\begin{aligned} \mathbf{y}_{2^{k-1}}^{(k)} &= \sum_{k' \geq k} \mathbf{x}_{(s-1)2^k+2^{k-1}}^{(k')} = \sum_{k' \geq k} \mathbf{x}_{(2s-2+1)2^{k-1}}^{(k')} \\ &= \sum_{k' \geq k} \mathbf{x}_{(2s-1)2^{k-1}}^{(k')} = \mathbf{x}_{(2s-1)2^{k-1}}. \end{aligned}$$

От друга страна, тъй като $\mathbf{x}^{(k,s)}$ е решение на системата

$$A^{(k,s)} \mathbf{x}^{(k,s)} = \mathbf{f}^{(k,s)},$$

то $\mathbf{y}^{(k)}$ може да се разложи по следния начин

$$\mathbf{y}^{(k)} = \hat{\mathbf{y}}^{(k)} + \mathbf{x}^{(k,s)},$$

където $\hat{\mathbf{y}}^{(k)}$ е решение на системата

$$A^{(k,s)} \hat{\mathbf{y}}^{(k)} = \hat{\mathbf{f}}^{(k,s)}.$$

От тук следва, че

$$\mathbf{y}_{2^{k-1}}^{(k)} = \hat{\mathbf{y}}_{2^{k-1}}^{(k)} + \mathbf{x}_{2^{k-1}}^{(k,s)},$$

като $\mathbf{x}_{2^{k-1}}^{(k,s)}$ вече е намерен при правия ход.

Следователно задачата се редуцира до непълно решаване на задачи с разредени десни части, чиито матрици $A^{(k,s)}$ позволяват разделяне на променливите.

След всяка стъпка k на обратния ход са изчислени компонентите $\mathbf{x}_{s2^{k-1}}$, необходими за образуване на съответните десни части на стъпка $k-1$.

Индукцията за намиране блоковете на \mathbf{x} е следната:

При $k=l$ се намира $\mathbf{x}_{2^{l-1}} = \mathbf{x}_{2^{l-1}}^{(l)}$.

Предполага се по индукция, че за някое k , $1 \leq k \leq l-1$ са намерени векторите $\mathbf{x}_{s2^{k-1}}$, $s=1, \dots, 2^{l-k}-1$ на предишните стъпки $l, \dots, k+1$.

След това на k -тата стъпка се намират само векторите $\mathbf{x}_{(2^{s-1})2^{k-1}}$ за $s=1, \dots, 2^{l-k}$ и заедно с блоковете, намерени на предишните стъпки, известните компоненти стават $\mathbf{x}_{s2^{k-1}}$ за $s=1, \dots, 2^{l-k+1}-1$.

Сумират се тъждествата

$$\mathbf{f}^{(j+1)} = \mathbf{f}^{(j)} - A\mathbf{x}^{(j)}$$

за $j = k, k+1, \dots, l$, полученото равенство

$$\mathbf{f}^{(k)} = A \left(\sum_{j \geq k} \mathbf{x}^{(j)} \right)$$

се представя във вида (2.3.12) и след като от дясната страна се изключат известните вектори $\mathbf{x}_{(s-1)2^k}$ и \mathbf{x}_{s2^k} се получава системата, която трябва да се реши непълно на k -тата стъпка на обратния ход.

Забележка: За $k=1$ получената система има една блочна компонента и се решава пълно.

С това описанието на обратния ход на алгоритъм FASV е завършено.

2.3.4 FASV-сложност на алгоритъма

Бързият алгоритъм за разделяне на променливите (FASV), въз основа на изложението в предишните две точки, може да бъде описан накратко по следния начин:

Алгоритъм 3 (FASV)

Стъпка 1 Прав ход:

Полага се $\mathbf{f}^{(1)} = \mathbf{f}$

for $k = 1$ to $l - 1$

for $s = 1$ to 2^{l-k} се решават

$$A^{(k,s)} \mathbf{x}^{(k,s)} = \begin{pmatrix} 0 \\ \mathbf{f}_{2^{k-1}}^{(k,s)} \\ 0 \end{pmatrix} \quad (2.3.14)$$

непълно, като се намират само

$$\mathbf{x}_1^{(k,s)}, \mathbf{x}_{2^{k-1}}^{(k,s)}, \mathbf{x}_{2^k-1}^{(k,s)}$$

end{цикъл по s }

for $s = 1$ to $2^{l-k} - 1$ се изчисляват

$$\mathbf{f}_{s2^k}^{(k+1)} = \mathbf{f}_{s2^k}^{(k)} - b_{s2^k, s2^k-1} \mathbf{x}_{2^k-1}^{(k,s)} - b_{s2^k, s2^k+1} \mathbf{x}_1^{(k,s+1)} \quad (2.3.15)$$

end{цикъл по s }

end{цикъл по k }

Стъпка 2 Обратен ход:

Решава се

$$A\mathbf{x}^{(l)} = \begin{pmatrix} 0 \\ \mathbf{f}_{2^{l-1}}^{(l)} \\ 0 \end{pmatrix} \quad (2.3.16)$$

непълно, само за $\mathbf{x}_{2^{l-1}}^{(l)} = \mathbf{x}_{2^l-1}^{(l)}$

for $k = l - 1$ downto 1

for $s = 1$ to 2^{l-k} непълно се решават

$$A^{(k,s)} \hat{\mathbf{y}}^{(k)} = \hat{\mathbf{f}}^{(k,s)} \quad (2.3.17)$$

само за $\hat{\mathbf{y}}_{2^{k-1}}^{(k)}$

Полага се

$$\mathbf{x}_{(2s-1)2^{k-1}} = \hat{\mathbf{y}}_{2^{k-1}}^{(k)} + \mathbf{x}_{2^k-1}^{(k,s)} \quad (2.3.18)$$

end{цикъл по s }

end{цикъл по k }

END {FASV}

Броят аритметични операции, необходими за изпълнение на правия и обратния ход и на целия алгоритъм FASV, се определя с помощта на **Теорема 2.2.1** за сложността на алгоритъма за непълно решаване на задачи с разредени десни части и се дава от следните теореми:

Теорема 2.3.1 Броят на аритметичните операции, необходими при правия ход на алгоритъма FASV е от следния порядък

$$\sum_{k=1}^{l-1} 2^{l-k} (4n + (13n - 4)n_k) \sim 13n^2(l-1) - 9n^2$$

в частта за решаване и

$$\begin{aligned} & \sum_{k=1}^{l-1} 2^{l-k} (n_k \text{ деления} + 3n_k(n-1) \text{ други операции}) \\ & \sim n^2(l-1) \text{ деления} + 3n^2(l-1) \text{ други операции} \end{aligned}$$

за факторизация на матриците $T + \lambda_k I_n$, като $n_k = 2^k - 1$.

Доказателство. Множителят 2^{l-k} дава броя на решаваните системи от вида (2.3.14). $4n$ идва от пресмятането на дясната страна $\mathbf{f}^{(k+1)}$ за всяка следваща стъпка посредством (2.3.15). Частта $(13n - 4)n_k$ дава броя аритметични операции за непълно решаване на (2.3.14), намирайки само $\mathbf{x}_1^{(k,s)}$, $\mathbf{x}_{2^{k-1}}^{(k,s)}$ и $\mathbf{x}_{2^k-1}^{(k,s)}$, използвайки метода на разделяне на променливите въз основа на собствените вектори и собствените стойности на симетричните и положително определени матрици $B_k^{(s)}$ от ред $n_k = 2^k - 1$. Тази част се получава, като се приложи **Теорема 2.2.1** при $r = 3$ (брой търсени компоненти на $\mathbf{x}^{(k,s)}$) и $d = 1$ (брой ненулеви компоненти на дясната част $\mathbf{f}^{(k,s)}$). ■

Теорема 2.3.2 Обратният ход на FASV изисква

$$\sum_{k=1}^{l-1} 2^{l-k} (2n + (11n - 4)n_k) + 9n^2 - 4n \sim 11n^2(l-1)$$

аритметични операции.

Доказателство. Множителят 2^{l-k} е заради броя на задачите (2.3.17), $2n$ идва заради изчисляването на дясната страна на (2.3.17). Частта $(11n - 4)n_k$ идва от непълното решаване на (2.3.17) и е пресметната с помощта на **Теорема 2.2.1** за $r = 1$ (брой търсени компоненти на решението) и $d = 2$ (брой ненулеви компоненти на дясната част).

Последният израз $9n^2 - 4n$ дава цената за непълното решаване на задача (2.3.16) за $k = l$ със $d = 1$ и $r = 1$. ■

Въз основа на тези две теореми, общата цена на FASV се дава с теоремата:

Теорема 2.3.3 Задачата $A\mathbf{x} = \mathbf{f}$ може да бъде решена чрез бързия алгоритъм за разделяне на променливите (FASV) за

$$24n^2(l-1) - 9n^2$$

операции в частта за решаване и

$$n^2(l-1) \text{ деления} + 3n^2(l-1) \text{ други операции}$$

за факторизация на всички матрици $T + \lambda_k I_n$ в произведения от вида $L_k D_k^{-1} U_k$, където L_k , U_k са долнотриъгълни и горнотриъгълни с единици по главния диагонал, а D_k е диагонална матрица.

За по-голяма точност, към предишната цена трябва да се включи и броят на операциите, необходими за пресмятане на всички собствени стойности и 1-та, 2^{k-1} -та, и $(2^k - 1)$ -та компонента на всички собствени вектори на тридиагоналните матрици $B_k^{(s)}$ от ред n_k ($n_k = 2^k - 1$) за $s = 1, 2, \dots, 2^{l-k}$ и за всички $k = 1, \dots, l$. Тези данни могат да бъдат намерени итеративно с машинна точност за

$$\sum_{k=1}^l 2^{l-k} \mathcal{O}(n_k^2) = \mathcal{O}(n^2)$$

аритметични операции.

За прилагане на алгоритъм FASV е необходима следната машинна памет:

- n^2 думи за дясната част \mathbf{f} ;
- векторът на решението \mathbf{x} заема същата памет както вектора \mathbf{f} ;
- за всички собствени стойности и трите необходими компоненти на всеки от собствените вектори на матриците $B_s^{(k)}$ са необходими

$$4 \sum_{1 \leq k \leq l} 2^{l-k} n_k \sim 4nl \text{ думи};$$

- за да се запазят всички матрици L_k, D_k^{-1}, U_k от разлагането на матриците $T + \lambda I$ са необходими два вектора с дължина n за всяка от тях или общо

$$2n \sum_{1 \leq k \leq l} 2^{l-k} n_k \sim 2n^2 l \text{ думи.}$$

Общо за съхраняване на необходимите данни при прилагането на алгоритъм FASV са нужни $2n^2 l + 4nl + 2n^2$ машинни думи.

Глава 3

Устойчиви марш алгоритми

В тази глава е описан марш алгоритъм за решаване на системи уравнения с разделящи се променливи от вида (1.3.5) $A\mathbf{x} = \mathbf{f}$, където $A = I_m \otimes T + B \otimes I_n$. Матриците $T = \text{tridiag}(t_{i,j})_{n \times n}$ и $B = \text{tridiag}(b_{i,j})_{m \times m}$ са тридиагонални, симетрични и положително полуопределени, като една от тях (T или B) е положително определена.

След това е описан устойчив марш алгоритъм, получен чрез ограничаване дължината на марш стъпките и използване на техниката за непълно решаване на задачи с разредени десни части. Получена е оценка за максималния брой аритметични операции, необходими за изпълнение на устойчивия марш алгоритъм.

3.1 Решаване на системи чрез блочна факторизация на матрици

Разглежда се система линейни алгебрични уравнения от вида

$$A\mathbf{x} = \mathbf{f},$$

където

$$A = \begin{pmatrix} A_{1,1} & A_{1,2} \\ A_{2,1} & A_{2,2} \end{pmatrix}, \mathbf{x} = \begin{pmatrix} \mathbf{x}_1 \\ \mathbf{x}_2 \end{pmatrix}, \mathbf{f} = \begin{pmatrix} \mathbf{f}_1 \\ \mathbf{f}_2 \end{pmatrix}.$$

Векторите \mathbf{x}_i и \mathbf{f}_i са с размерности, съответстващи на размерността на $A_{i,i}$ за $i = 1, 2$.

Матрицата A се представя във вида

$$A = \begin{pmatrix} A_{1,1} & A_{1,2} \\ A_{2,1} & A_{2,2} \end{pmatrix} = \begin{pmatrix} A_{1,1} & 0 \\ A_{2,1} & S \end{pmatrix} \begin{pmatrix} I & A_{1,1}^{-1} A_{1,2} \\ 0 & I \end{pmatrix},$$

където $S = A_{2,2} - A_{2,1} A_{1,1}^{-1} A_{1,2}$ е допълнението на Шур (Schur).

Трябва да се реши системата:

$$\begin{pmatrix} A_{1,1} & 0 \\ A_{2,1} & S \end{pmatrix} \begin{pmatrix} I & A_{1,1}^{-1} A_{1,2} \\ 0 & I \end{pmatrix} \begin{pmatrix} \mathbf{x}_1 \\ \mathbf{x}_2 \end{pmatrix} = \begin{pmatrix} \mathbf{f}_1 \\ \mathbf{f}_2 \end{pmatrix}.$$

Полага се

$$\begin{pmatrix} \mathbf{y}_1 \\ \mathbf{y}_2 \end{pmatrix} = \begin{pmatrix} I & A_{1,1}^{-1}A_{1,2} \\ 0 & I \end{pmatrix} \begin{pmatrix} \mathbf{x}_1 \\ \mathbf{x}_2 \end{pmatrix}.$$

Тогава

$$\begin{cases} A_{1,1}\mathbf{y}_1 & = \mathbf{f}_1 \\ A_{2,1}\mathbf{y}_1 + S\mathbf{y}_2 & = \mathbf{f}_2 \end{cases}.$$

Тази система се решава относно \mathbf{y} и се получава

$$\begin{cases} \mathbf{y}_1 & = A_{1,1}^{-1}\mathbf{f}_1 \\ \mathbf{y}_2 & = S^{-1}(\mathbf{f}_2 - A_{2,1}A_{1,1}^{-1}\mathbf{f}_1) \end{cases}. \quad (3.1.1)$$

При намерени \mathbf{y}_1 и \mathbf{y}_2 , \mathbf{x}_1 и \mathbf{x}_2 се намират от системата

$$\begin{cases} \mathbf{x}_1 + A_{1,1}^{-1}A_{1,2}\mathbf{x}_2 & = \mathbf{y}_1 \\ \mathbf{x}_2 & = \mathbf{y}_2 \end{cases},$$

откъдето

$$\begin{cases} \mathbf{x}_2 & = \mathbf{y}_2 \\ \mathbf{x}_1 & = \mathbf{y}_1 - A_{1,1}^{-1}A_{1,2}\mathbf{y}_2 \end{cases} \quad (3.1.2)$$

като \mathbf{y}_1 и \mathbf{y}_2 се заместват от (3.1.1) в (3.1.2).

3.2 Основна идея

При стандартния марш алгоритъм, изходната матрица се пренарежда и записва в 2×2 блочна форма така, че единият от блоковете по главния диагонал е блочна горнотриъгълна матрица, а другият е нулев блок. С дясната страна се извършват съответни преобразувания, за да се стигне до еквивалентна система.

При решаването на получената система чрез блочна факторизация, е необходимо да се решат две системи с горнотриъгълна матрица и една система (с допълнението на Шур), чието решаване се свежда до непълно решаване на задача с разрежена дясна част.

При обобщения марш алгоритъм, изходната система се разделя на блокове и се пренарежда така, че новите блокове с нечетни номера се записват в началото, а тези с четните - в края на новата матрица. При записване на новата матрица в блочна 2×2 форма

$$\begin{pmatrix} \tilde{A}_{1,1} & \tilde{A}_{1,2} \\ \tilde{A}_{2,1} & \tilde{A}_{2,2} \end{pmatrix},$$

блокът $\tilde{A}_{1,1}$ ще е блочнодиагонален. Получената система се решава чрез блочна факторизация. Системата с блок $\tilde{A}_{1,1}$ се разпада на системи с по-малка размерност, които се решават със стандартен марш алгоритъм. Системата, в която участва блокът $\tilde{A}_{2,2}$ се свежда до непълно решаване на система с разрежена дясна част.

3.3 Стандартен марш алгоритъм - МА

При стандартния марш алгоритъм се извършва пренареждане на блочните компоненти на матрицата A и на дясната страна \mathbf{f} на системата (1.3.5), като първото блочно уравнение се записва на последно място. Пренаредената матрица се записва в 2×2 блочна форма и се получава следната еквивалентна задача:

$$\begin{pmatrix} U & G \\ C & 0 \end{pmatrix} \begin{pmatrix} \mathbf{x}' \\ \mathbf{x}_m \end{pmatrix} = \begin{pmatrix} \mathbf{f}' \\ \mathbf{f}_1 \end{pmatrix}, \quad (3.3.3)$$

където U е горнотриъгълната матрица

$$U = \begin{pmatrix} b_{2,1}I_n & T + b_{2,2}I_n & b_{2,3}I_n & \dots & 0 \\ 0 & b_{3,2}I_n & T + b_{3,3}I_n & \dots & 0 \\ \vdots & \ddots & \ddots & \ddots & \vdots \\ 0 & \dots & \dots & b_{m-1,m-2}I_n & T + b_{m-1,m-1}I_n \\ 0 & \dots & \dots & 0 & b_{m,m-1}I_n \end{pmatrix},$$

а матриците G и C са

$$G = \begin{pmatrix} 0 \\ \vdots \\ 0 \\ b_{m-1,m}I_n \\ T + b_{m,m}I_n \end{pmatrix}, \quad C = (T + b_{1,1}I_n, b_{1,2}I_n, 0, \dots, 0).$$

Векторите \mathbf{x}' и \mathbf{f}' са

$$\mathbf{x}' = \begin{pmatrix} \mathbf{x}_1 \\ \mathbf{x}_2 \\ \vdots \\ \mathbf{x}_{m-1} \end{pmatrix}, \quad \mathbf{f}' = \begin{pmatrix} \mathbf{f}_2 \\ \mathbf{f}_3 \\ \vdots \\ \mathbf{f}_m \end{pmatrix}.$$

Пренаредената матрица допуска следната блочна факторизация

$$\begin{pmatrix} U & G \\ C & 0 \end{pmatrix} = \begin{pmatrix} U & 0 \\ C & -CU^{-1}G \end{pmatrix} \begin{pmatrix} I & U^{-1}G \\ 0 & I \end{pmatrix}.$$

Тогава системата (3.3.3) добива вида:

$$\begin{pmatrix} U & 0 \\ C & -CU^{-1}G \end{pmatrix} \begin{pmatrix} I & U^{-1}G \\ 0 & I \end{pmatrix} \begin{pmatrix} \mathbf{x}' \\ \mathbf{x}_m \end{pmatrix} = \begin{pmatrix} \mathbf{f}' \\ \mathbf{f}_1 \end{pmatrix}. \quad (3.3.4)$$

За решаването на тази система се постъпва по стандартния начин за решаване на системи чрез блочна факторизация (вж. т.3.1).

Полага се

$$\mathbf{y} = \begin{pmatrix} \mathbf{y}_1 \\ \mathbf{y}_2 \end{pmatrix} = \begin{pmatrix} I & U^{-1}G \\ 0 & I \end{pmatrix} \begin{pmatrix} \mathbf{x}' \\ \mathbf{x}_m \end{pmatrix}$$

Решението се получава чрез стандартния обратен ход:

$$\begin{aligned} \underline{\xi}_{m-1} &= \frac{1}{b_{m,m-1}} \mathbf{g}_{m-1}; \\ &\text{for } i = m - 1 \text{ down to } 2 \\ \underline{\xi}_{i-1} &= \frac{1}{b_{i,i-1}} \left(\mathbf{g}_{i-1} - b_{i,i} \underline{\xi}_i - T \underline{\xi}_i - b_{i,i+1} \underline{\xi}_{i+1} \right) \\ &\text{end.} \end{aligned}$$

Решаването на редуцираната система

$$-CU^{-1} G \mathbf{x}_m = \tilde{\mathbf{f}}_1 \equiv \mathbf{f}_1 - CU^{-1} \begin{pmatrix} \mathbf{f}_2 \\ \mathbf{f}_3 \\ \vdots \\ \mathbf{f}_m \end{pmatrix} \quad (3.3.8)$$

е еквивалентно на непълно решаване на система с изходната матрица A и разредена дясна част.

За компонентата $\tilde{\mathbf{x}}_m$ на решението на системата

$$A \tilde{\mathbf{x}} = \begin{pmatrix} \tilde{\mathbf{f}}_1 \\ 0 \\ \vdots \\ 0 \end{pmatrix} \quad (3.3.9)$$

е в сила $\tilde{\mathbf{x}}_m = \mathbf{x}_m$, тъй като ако се извърши същата процедура с (3.3.9) както с изходната система, т.е. ако (3.3.9) се запише във вида (3.3.3) и се изпълни блочна елиминация, се завършва със същата система (3.3.8).

Системата (3.3.9) може да бъде решена чрез техниката за непълно решаване на система с разредена дясна част (вж. точка 2.2) с $r = 1$ и $d = 1$, т.е. като се търси само една блочна компонента ($\tilde{\mathbf{x}}_m$) на решението и дясната страна има една ненулева компонента ($\tilde{\mathbf{f}}_1$).

Оставащата част \mathbf{x}' от решението \mathbf{x} се получава отново чрез проста рекурсия решавайки система с U .

3.4 Обобщен марш алгоритъм - GMA

В Банк и Росе (Bank and Rose) [6] и Банк (Bank) [7] е показано, че за големи m марш алгоритъма е неустойчив. По-точно, рекурентната връзка, използвана за решаването на системи с горнотриъгълната матрица U , е неустойчива за големи m . По тази причина, стандартният марш алгоритъм е от практически интерес само ако дължината на рекурсията е малка, т.е. за $m \ll n$.

Когато $m = n$ или от същия порядък, за задачата (1.3.5) $A \mathbf{x} = \mathbf{f}$ може да се използва обобщения марш алгоритъм (GMA).

Нека $m = n$ и $n + 1 = p(k + 1)$ за някои цели k и p . Извършва се блочно четно-нечетно пренареждане на матрицата A и векторите \mathbf{x} и \mathbf{f} по следния начин:

Стълбовете в изходния блочен вид на A се групират в ленти, всяка от които е с по $k + 1$ стълба ($p - 1$ ленти с по $k + 1$ стълба и 1 лента с k стълба). Първите k стълба от всяка лента образуват нечетните стълбове L_{2r-1} , а $k + 1$ -вите стълбове - четните стълбове L_{2r} на това групиране. Спрямо така направената блочна структура на матрицата, стълбовете с нечетни номера (L_{2r-1}) се подреждат в нарастващ ред преди стълбовете с четните (също подредени в нарастващ ред). Тази процедура се прави последователно със стълбовете и с редовете на матрицата A :

$$\begin{aligned}
 A &= \begin{pmatrix} \vdots & \vdots & \vdots & \dots & \vdots \\ L_1 & L_2 & L_3 & \dots & L_{2p-1} \\ \vdots & \vdots & \vdots & & \vdots \\ \underbrace{\quad}_k & \underbrace{\quad}_1 & \underbrace{\quad}_k & & \underbrace{\quad}_k \\ \text{стълба} & \text{стълб} & \text{стълба} & & \text{стълба} \end{pmatrix} \rightarrow \\
 &\rightarrow \begin{pmatrix} S_1 & & & & \} & k \text{ реда} \\ S_2 & & & & \} & 1 \text{ ред} \\ \vdots & \vdots & \vdots & \vdots & & \vdots \\ L_1 & L_3 & L_{2p-1} & L_2 & & L_{2p-2} \\ \vdots & \vdots & \vdots & \vdots & & \vdots \\ S_{2p-2} & & & & \} & 1 \text{ ред} \\ S_{2p-1} & & & & \} & k \text{ реда} \end{pmatrix} \rightarrow \\
 &\rightarrow \begin{pmatrix} L_1 & L_3 & \dots & L_{2p-1} & L_2 & \dots & L_{2p-2} \\ S_1 & A_1^{(k)} & & 0 & \vdots & & \\ S_3 & & \ddots & & \vdots & & \tilde{A}_{1,2} \\ \vdots & & & & \vdots & & \\ S_{2p-1} & 0 & & A_p^{(k)} & \vdots & & \\ \dots & \dots & \dots & \dots & \dots & \dots & \\ S_2 & & & & \vdots & & \\ \vdots & & & & \vdots & & \\ S_{2p-2} & & \tilde{A}_{2,1} & & \vdots & & \tilde{A}_{2,2} \end{pmatrix}.
 \end{aligned}$$

Матрицата на системата придобива вида:

$$\tilde{A} = \begin{pmatrix} A_1^{(k)} & & 0 & \vdots \\ & \ddots & & \vdots \\ 0 & & A_p^{(k)} & \vdots \\ \cdots & \cdots & \cdots & \cdots \\ & \tilde{A}_{2,1} & & \tilde{A}_{2,2} \end{pmatrix} = \begin{pmatrix} \tilde{A}_{1,1} & \tilde{A}_{1,2} \\ \tilde{A}_{2,1} & \tilde{A}_{2,2} \end{pmatrix},$$

където съответните блокове са дефинирани чрез

$$\begin{aligned} \tilde{A}_{1,1} &= \text{blockdiag} (A_s^{(k)})_{s=1}^p, \\ A_s^{(k)} &= I_k \otimes T + B_s^{(k)} \otimes I_n, \\ B_s^{(k)} &= \text{tridiag} (b_{k_s+i, k_s+i-1}, b_{k_s+i, k_s+i}, b_{k_s+i, k_s+i+1})_{i=1}^k, \\ \tilde{A}_{2,2} &= \text{blockdiag} (T + b_{k_{s+1}, k_{s+1}} I_n), \quad k_s = (s-1)(k+1), \quad s = 1, \dots, p. \end{aligned}$$

Компонентите на вектора на решението \mathbf{x} и дясната част \mathbf{f} се групират и пренареждат съобразно с матрицата A и позволяват следните блочни форми:

$$\begin{aligned} \mathbf{x} &= \begin{pmatrix} \mathbf{x}^{(1)} \\ \mathbf{x}^{(2)} \end{pmatrix}, \quad \mathbf{x}^{(1)} = \begin{pmatrix} \mathbf{x}_1^{(1)} \\ \vdots \\ \mathbf{x}_p^{(1)} \end{pmatrix}, \quad \mathbf{x}_s^{(1)} = \begin{pmatrix} \mathbf{x}_{(s-1)(k+1)+1} \\ \vdots \\ \mathbf{x}_{(s-1)(k+1)+k} \end{pmatrix}, \quad s = 1, \dots, p, \\ \mathbf{f} &= \begin{pmatrix} \mathbf{f}^{(1)} \\ \mathbf{f}^{(2)} \end{pmatrix}, \quad \mathbf{f}^{(1)} = \begin{pmatrix} \mathbf{f}_1^{(1)} \\ \vdots \\ \mathbf{f}_p^{(1)} \end{pmatrix}, \quad \mathbf{f}_s^{(1)} = \begin{pmatrix} \mathbf{f}_{(s-1)(k+1)+1} \\ \vdots \\ \mathbf{f}_{(s-1)(k+1)+k} \end{pmatrix}, \quad s = 1, \dots, p; \\ \mathbf{x}^{(2)} &= \begin{pmatrix} \mathbf{x}_{k+1} \\ \vdots \\ \mathbf{x}_{s(k+1)} \\ \vdots \\ \mathbf{x}_{(p-1)(k+1)} \end{pmatrix}, \quad \mathbf{f}^{(2)} = \begin{pmatrix} \mathbf{f}_{k+1} \\ \vdots \\ \mathbf{f}_{s(k+1)} \\ \vdots \\ \mathbf{f}_{(p-1)(k+1)} \end{pmatrix}. \end{aligned}$$

Тогава задачата придобива вида

$$\begin{pmatrix} \tilde{A}_{1,1} & \tilde{A}_{1,2} \\ \tilde{A}_{2,1} & \tilde{A}_{2,2} \end{pmatrix} \begin{pmatrix} \mathbf{x}^{(1)} \\ \mathbf{x}^{(2)} \end{pmatrix} = \begin{pmatrix} \mathbf{f}^{(1)} \\ \mathbf{f}^{(2)} \end{pmatrix}.$$

Чрез блочна факторизация се получава

$$\begin{pmatrix} \tilde{A}_{1,1} & 0 \\ \tilde{A}_{2,1} & S \end{pmatrix} \begin{pmatrix} I & \tilde{A}_{1,1}^{-1} \tilde{A}_{1,2} \\ 0 & I \end{pmatrix} \begin{pmatrix} \mathbf{x}^{(1)} \\ \mathbf{x}^{(2)} \end{pmatrix} = \begin{pmatrix} \mathbf{f}^{(1)} \\ \mathbf{f}^{(2)} \end{pmatrix},$$

където $S = \tilde{A}_{2,2} - \tilde{A}_{2,1} \tilde{A}_{1,1}^{-1} \tilde{A}_{1,2}$.

След въвеждане на ново неизвестно

$$\begin{pmatrix} \mathbf{y}^{(1)} \\ \mathbf{y}^{(2)} \end{pmatrix} = \begin{pmatrix} I & \tilde{A}_{1,1}^{-1} \tilde{A}_{1,2} \\ 0 & I \end{pmatrix} \begin{pmatrix} \mathbf{x}^{(1)} \\ \mathbf{x}^{(2)} \end{pmatrix}$$

и извършване на преобразувания, аналогични на тези в т. 3.1 и т. 3.3 задачата се свежда до решаване на системите

$$\begin{cases} \tilde{A}_{1,1}\mathbf{y}^{(1)} = \mathbf{f}^{(1)} \\ \tilde{A}_{2,2} - \tilde{A}_{2,1}\tilde{A}_{1,1}^{-1}\tilde{A}_{1,2}\mathbf{x}^{(2)} = \mathbf{f}^{(2)} - \tilde{A}_{2,1}\tilde{A}_{1,1}^{-1}\mathbf{f}^{(1)} \\ \tilde{A}_{1,1}\mathbf{x}^{(1)} = \mathbf{f}^{(1)} - \tilde{A}_{1,2}\mathbf{x}^{(2)} \end{cases} \quad (3.4.10)$$

Тъй като матрицата $\tilde{A}_{1,1}$ е блочнодиагонална, решаването на система с нея се свежда до решаване на p системи с матрици $A_s^{(k)}$, $s = 1, \dots, p$. Системите с матрици блоковете $A_s^{(k)}$ на $\tilde{A}_{1,1}$ се решават използвайки стандартния марш алгоритъм.

Дължината на рекурентната връзка, необходима за решаване на системи с горнотриъгълни блокове е $k - 1 = \frac{n+1}{p} - 2$ и може да се контролира чрез избиране на достатъчно голямо p .

Решаването на редуцираната система

$$\tilde{A}_{2,2} - \tilde{A}_{2,1}\tilde{A}_{1,1}^{-1}\tilde{A}_{1,2}\mathbf{x}^{(2)} = \tilde{\mathbf{f}}^{(2)} \equiv \mathbf{f}^{(2)} - \tilde{A}_{2,1}\tilde{A}_{1,1}^{-1}\mathbf{f}^{(1)} \quad (3.4.11)$$

е еквивалентно на непълното решаване на система с първоначалната матрица A и с разредена дясна част. Затова втората стъпка на блочната факторизация е решаването на системата

$$A\hat{\mathbf{x}} = \hat{\mathbf{f}}, \quad \text{където } \hat{\mathbf{f}}_i = \begin{cases} \tilde{\mathbf{f}}_s^{(2)}, & i = s(k+1) \\ 0, & i \neq s(k+1) \end{cases}, \quad (3.4.12)$$

търсейки само $\hat{\mathbf{x}}_{s(k+1)} = \mathbf{x}_{s(k+1)}$, $s = 1, \dots, p-1$.

Тази задача може да се реши с FASV за $r = p-1$ (брой търсени компоненти на решението) и $d = p-1$ (брой ненулеви компоненти на дясната част).

При намерени $\mathbf{x}^{(2)}$ и $\mathbf{y}^{(1)}$, $\mathbf{x}^{(1)}$ се намира решавайки съответната система от (3.4.10) с матрица $\tilde{A}_{1,1}$, т.е. чрез решаване на p системи с матрици $A_s^{(k)}$, $s = 1, \dots, p$.

3.5 Сложност на алгоритмите МА и GМА

Въз основа на казаното в т.3.3, стандартният марш алгоритъм може да бъде описан накратко по следния начин:

Алгоритъм 4 (Марш алгоритъм - МА)

Стъпка 1 *Пренареждане* на блоковете на матрицата A и записване на системата във вида

$$\begin{pmatrix} U & G \\ C & 0 \end{pmatrix} \begin{pmatrix} \mathbf{x}' \\ \mathbf{x}_m \end{pmatrix} = \begin{pmatrix} \mathbf{f}' \\ \mathbf{f}_1 \end{pmatrix}.$$

Стъпка 2 Решаване на системата

$$U\mathbf{y}_1 = \mathbf{f}'$$

чрез стандартния обратен ход.

Стъпка 3 Непълно решаване на системата

$$A\tilde{\mathbf{x}} = \begin{pmatrix} \tilde{\mathbf{f}}_1 \\ 0 \\ \vdots \\ 0 \end{pmatrix},$$

намирайки само $\tilde{\mathbf{x}}_m$ (т.е. с $r = 1$ и $d = 1$) с цел да се получи решението \mathbf{x}_m на системата

$$-CU^{-1}G\mathbf{x}_m = \mathbf{f}_1 - C\mathbf{y}_1 = \mathbf{f}_1 - CU^{-1}\mathbf{f}'.$$

Стъпка 4 Решаване на

$$U\mathbf{x}' = -G\mathbf{x}_m + \mathbf{f}'$$

чрез стандартната рекурентна връзка на обратния ход.

За рекурентната връзка, необходима за решаване на системи с горнотриъгълната матрица U , са необходими $\mathcal{O}(nm)$ аритметични операции. Съгласно **Теорема 2.2.1** за непълно решаване на системата в **Стъпка 3** се изисква същият порядък аритметични операции.

Така се обосновава верността на следната

Теорема 3.5.1 *Марш алгоритъмът, в комбинация с техниката за разделяне на променливите за непълно решаване на редуцираната система, изисква оптимален брой аритметични операции за решаване на задачи $A\mathbf{x} = \mathbf{f}$ с разделящи се променливи, а именно $\mathcal{O}(nm)$ операции.*

Съгласно точка 3.4, обобщеният марш алгоритъм накратко може да бъде записан във вида:

Алгоритъм 5 (Обобщен марш алгоритъм - GMA)

Стъпка 1 *Пренареждане* на матрицата и записване на системата в 2×2 блочна форма

$$\begin{pmatrix} \tilde{A}_{1,1} & \tilde{A}_{1,2} \\ \tilde{A}_{2,1} & \tilde{A}_{2,2} \end{pmatrix} \begin{pmatrix} \mathbf{x}^{(1)} \\ \mathbf{x}^{(2)} \end{pmatrix} = \begin{pmatrix} \mathbf{f}^{(1)} \\ \mathbf{f}^{(2)} \end{pmatrix},$$

$$\tilde{A}_{1,1} = \text{blockdiag}(A_s^{(k)})_{s=1}^p.$$

Стъпка 2 for $s = 1$ to p решаване на системата

$$A_s^{(k)} \mathbf{y}_s^{(1)} = \mathbf{f}_s^{(1)}$$

end

Стъпка 3 Непълно решаване на системата

$$A\hat{\mathbf{x}} = \hat{\mathbf{f}}, \text{ където } \hat{\mathbf{f}}_i = \begin{cases} \tilde{\mathbf{f}}_s^{(2)}, & i = s(k+1) \\ 0, & i \neq s(k+1) \end{cases},$$

намирайки само $\hat{\mathbf{x}}_{s(k+1)} = \mathbf{x}_{s(k+1)}$, $s = 1, \dots, p-1$,

$$\tilde{\mathbf{f}}^{(2)} \equiv \mathbf{f}^{(2)} - \tilde{A}_{2,1} \tilde{A}_{1,1}^{-1} \mathbf{f}^{(1)},$$

с цел намиране на компонентата $\mathbf{x}^{(2)}$.

Стъпка 4 Намиране на компонентата $\mathbf{x}^{(1)}$ на решението чрез
for $s = 1$ to p решаване на системата

$$A_s^{(k)} \mathbf{x}_s^{(1)} = \tilde{\mathbf{f}}_s^{(1)}$$

end

$$\tilde{\mathbf{f}}^{(1)} = \mathbf{f}^{(1)} - \tilde{A}_{1,2} \mathbf{x}^{(2)}.$$

Предполага се за определеност, че $p = 2^l$. Тогава цената за непълно решаване на системата в **Стъпка 3** чрез алгоритъма FASV се дава със следното твърдение:

Теорема 3.5.2 Втората стъпка на блочната гаусова елиминация въз основа на непълното решаване на задача (3.4.12), използвайки алгоритъм FASV, изисква

$$24n^2l - 9n^2$$

операции.

Доказателство. Това е директно следствие от Теорема 2.3.3, тъй като за непълно решаване на (3.4.12) трябва да се извършат l стъпки на FASV. ■

Забележка: Обобщеният марш алгоритъм във вида представен в Банк [7] изисква за втората стъпка на блочната гаусова елиминация $28n^2l$ операции. Това показва, че алгоритъмът представен тук има асимптотически малко по-малък брой операции.

Като се има предвид, че при всяка от стъпки 2 и 4 на **Алгоритъм 5** се прилага p пъти стандартния марш алгоритъм, броят аритметични операции за тяхното изпълнение е $\mathcal{O}(npk)$. Следователно общият брой аритметични операции, необходими за изпълнението на обобщения марш алгоритъм е

$$\mathcal{O}(npk) + 24n^2l - 9n^2 = \mathcal{O}(n^2) + 24n^2 \log_2(p) - 9n^2.$$

Глава 4

Числени експерименти

Алгоритмите SV и FASV, описани в глава 2, са реализирани с MATLAB. Числените експерименти за двата примера, формулирани в точка 4.1 по-долу, са направени на машини SUN SPARC station 20 и SUN Enterprise 3000. В тази глава са анализирани получените резултати и в края на главата е направен извод за целесъобразността от използването на MATLAB за решаване на задачи от разглеждания вид.

4.1 Формулировка на примерите за числени експерименти

Пример 1. Приложение за случая $a_1(x_1) = a_2(x_2) \equiv 1$.

Разглежда се задачата на Дирихле за уравнението на Поасон :

$$\left\{ \begin{array}{ll} -\Delta u(x_1, x_2) = f(x_1, x_2), & (x_1, x_2) \in \Omega = (0, 1) \times (0, 1) \\ u(x_1, x_2) = 0, & (x_1, x_2) \in \partial\Omega \end{array} \right. .$$

За решение u се избира

$$u(x_1, x_2) = \sin(\pi x_1) \sin(\pi x_2),$$

откъдето следва, че дясната част $f(x_1, x_2)$ е

$$f(x_1, x_2) = 2\pi^2 \sin(\pi x_1) \sin(\pi x_2).$$

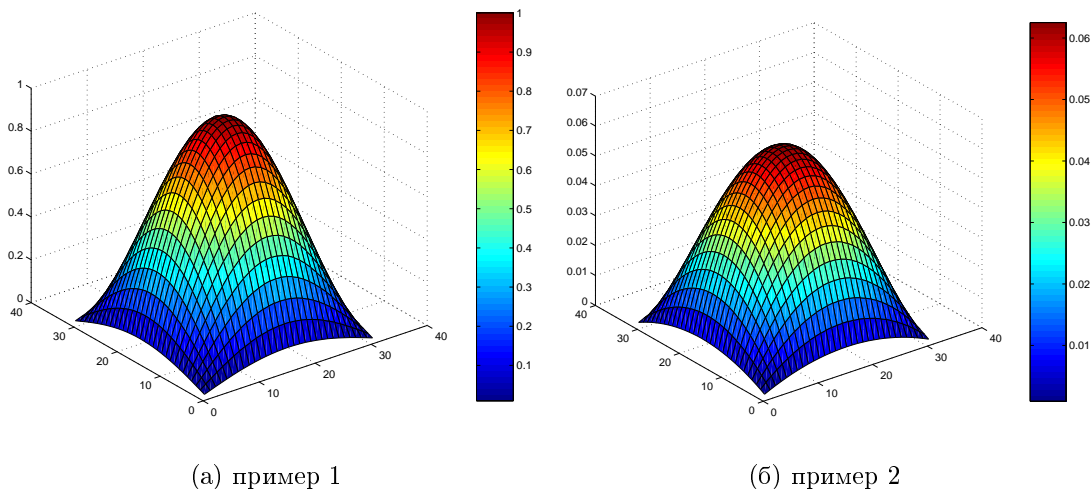
Пример 2. Приложение за случая $a_1(x_1) \neq 1$ и $a_2(x_2) \neq 1$.

Разглежда се задача (1.1.1), с коефициенти

$$a_1(x_1) = 1 + x_1^2, \quad a_2(x_2) = e^{-x_2},$$

а за решението u се взима функцията

$$u(x_1, x_2) = (1 - x_1)x_1x_2(1 - x_2).$$



Фигура 4.1: Точно решение

Следователно дясната страна $f(x_1, x_2)$ е

$$f(x_1, x_2) = 2x_2(1 - x_2)(3x_1^2 - x_1 + 1) + e^{-x_2}x_1(1 - x_1)(3 - 2x_2).$$

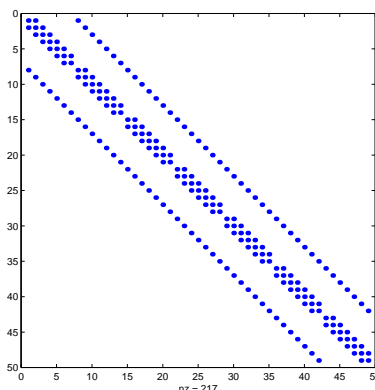
На фиг. 4.1 е показана графика на точното решение за **Пример 1** и **Пример 2**.

И в двата случая дискретизацията е направена върху равномерна мрежа $n \times n$ ($m = n$, $h_1 = h_2 = h$) с помощта на диференчна апроксимация по пет точков шаблон „кръст“.

Възлите на мрежата са

$$(x_1^i, x_2^j) = (i h, j h), \quad i, j = 1, \dots, n, \quad h = \frac{1}{n + 1}.$$

Получената система е от n^2 уравнения за n^2 неизвестни и за различните стойности на n , нейната матрица има един и същи разреден вид. На фиг.4.2 е показана структурата на матрицата A в случая $n = 7$.



Фигура 4.2: Матрица на системата

4.2 Сравнителен анализ на изчислителната СЛОЖНОСТ

Тъй като методите SV и FASV са директни, то получената грешка при решаване на системата $Ax = f$ трябва да е грешката на диференчната схема, т.е. $\mathcal{O}(|h|^2)$ (вж. глава 1). С други думи, при намаляване на стъпката два пъти, грешката трябва да намалява четири пъти.

Времето за изпълнение на методите SV и FASV, за разглеждания случай $n = m$, зависи от броя операции, дадени в таблица 4.1, т.е. от асимптотиката на изчислителната сложност, посочена в съответните теореми в глава 2.

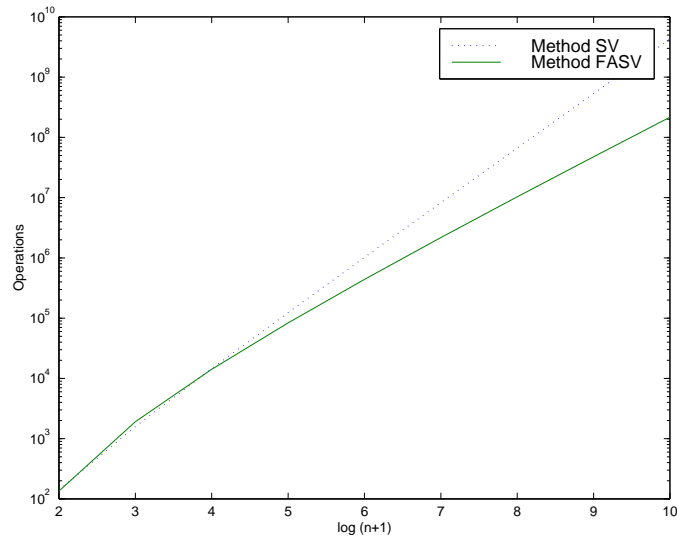
Таблица 4.1: Методи за разделяне на променливите

Метод	Брой операции
SV	$4n^3 + 5n^2$
FASV	$24n^2 (\log_2(n + 1) - 1) - 9n^2$

Графиката на данните от таблица 4.1, представена с фиг. 4.3, показва, че за малки стойности на l ($n = 2^l - 1$), т.е. за $l < 4$, броят операции за изпълнение на FASV е по-голям от този за изпълнение на SV, а при $l \geq 4$ FASV става с по-малък брой операции. Това означава, че за малки l , времето за изпълнение на FASV трябва да е по-голямо от времето за изпълнение на SV.

4.3 Резултати от числените експерименти

Всяка от задачите, формулирани като **Пример 1** и **Пример 2** в точка 4.1, е решена както чрез алгоритъм SV, така и чрез алгоритъм FASV за седем различни стойности на $n = 2^l - 1$ (за $l = 4, \dots, 10$).



Фигура 4.3: Сравнение между методите SV и FASV

Резултатите от проведените числени експерименти за всеки от примерите са представени в таблици със следните колони:

n — брой възли на мрежата по всяко от направленията x_1 и x_2 .

h — стъпка на мрежата по всяко от направленията.

L₂-грешка — L₂ норма на вектора на грешката.

макс. грешка — максималният по абсолютна стойност елемент на вектора на грешката.

cpu — сри време за изпълнение на съответния алгоритъм, като в него не е включено времето за дискретизация на задачата, за намиране на собствените вектори и стойности и за факторизация на матриците.

cpu_eig — сри време за намиране на необходимите собствени вектори и собствени стойности.

Резултатите за **Пример 1** са дадени в таблица 4.2, а тези за **Пример 2** — в таблица 4.3.

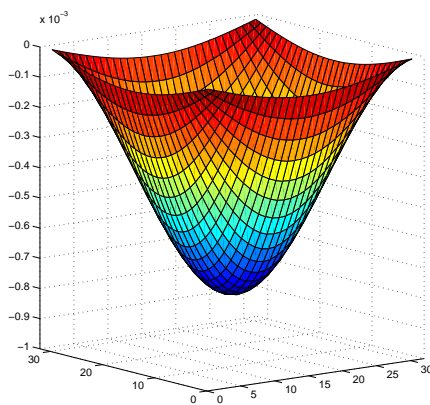
На фиг.4.4 и фиг.4.5 съответно за **Пример 1** и **Пример 2** е показано как намалява грешката при намаляване на стъпката два пъти, именно както L₂-грешката, така и максималната грешка намаляват четири пъти (това се вижда и от таблиците с резултатите).

Времето за изпълнение на SV първоначално (за $n \leq 511$) се увеличава квадратично и едва при $n = 1023$ започва да се променя според функцията

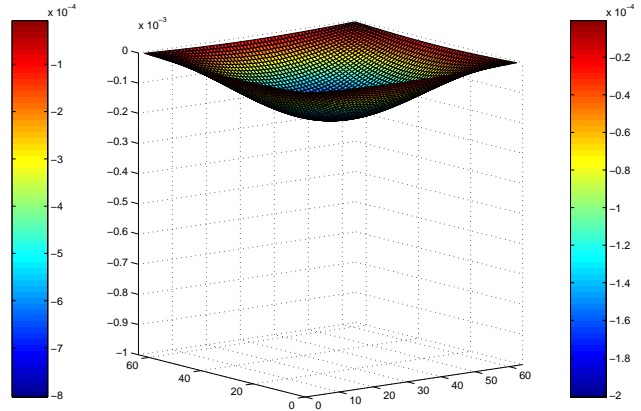
$$\alpha_1 n^3 + \alpha_2 n^2.$$

Таблица 4.2: Результаты за пример 1

n	h	срп	срп_eig	L_2 -грешка	Макс. грешка
Метод SV					
15	1/16	0.07	0.00	1.6095e-03	3.2190e-03
31	1/32	0.27	0.01	4.0179e-04	8.0358e-04
63	1/64	1.11	0.06	1.0041e-04	2.0082e-04
127	1/128	4.95	0.43	2.5100e-05	5.0201e-05
255	1/256	24.22	3.44	6.2750e-06	1.2550e-05
511	1/512	149.93	29.01	1.5687e-06	3.1375e-06
1023	1/1024	1134.90	324.73	3.9222e-07	7.8443e-07
Метод FASV					
15	1/16	0.30	0.00	1.6095e-03	3.2190e-03
31	1/32	1.20	0.03	4.0179e-04	8.0358e-04
63	1/64	5.79	0.11	1.0041e-04	2.0082e-04
127	1/128	25.96	0.96	2.5100e-05	5.0201e-05
255	1/256	125.19	5.68	6.2750e-06	1.2550e-05
511	1/512	605.40	46.34	1.5687e-06	3.1375e-06
1023	1/1024	3155.70	485.46	3.9220e-07	7.8443e-07



(a) $n = 31$

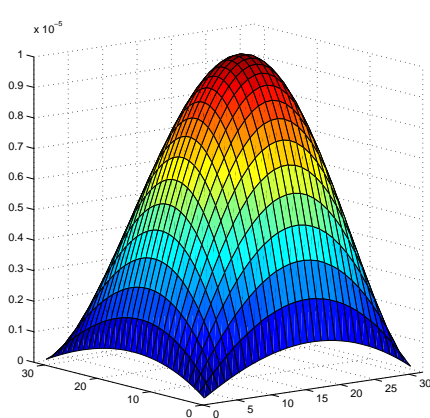


(б) $n = 63$

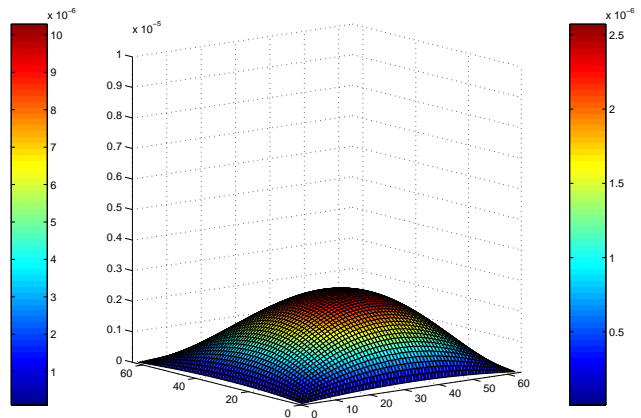
Фигура 4.4: Грешка за пример 1

Таблица 4.3: Результаты за пример 2

n	h	cpu	cpu_eig	L_2 -грешка	Макс. грешка
Метод SV					
15	1/16	0.08	0.00	2.1587e-05	4.1066e-05
31	1/32	0.27	0.01	5.3960e-06	1.0290e-05
63	1/64	1.07	0.06	1.3489e-06	2.5727e-06
127	1/128	4.79	0.43	3.3723e-07	6.4340e-07
255	1/256	25.35	3.13	8.4308e-08	1.6085e-07
511	1/512	145.23	29.68	2.1077e-08	4.0213e-08
1023	1/1024	1383.00	537.06	5.2716e-09	1.0058e-08
Метод FASV					
15	1/16	0.41	0.00	2.1587e-05	4.1066e-05
31	1/32	1.18	0.03	5.3960e-06	1.0290e-05
63	1/64	5.45	0.14	1.3489e-06	2.5727e-06
127	1/128	25.62	0.87	3.3723e-07	6.4340e-07
255	1/256	123.44	5.63	8.4307e-08	1.6085e-07
511	1/512	600.80	48.00	2.1077e-08	4.0213e-08
1023	1/1024	3078.00	685.93	5.2716e-09	1.0058e-08



(a) $n = 31$



(б) $n = 63$

Фигура 4.5: Грешка за пример 2

Времето за изпълнение на FASV, при увеличаване на n , расте съобразно с функцията

$$\beta_1 n^2 \log n + \beta_2 n^2.$$

При сравняване на времената за изпълнение на SV и FASV се вижда, че въпреки че необходимият брой операции за изпълнение на FASV е по-малък от този за изпълнение на SV за $l \geq 4$, времето за изпълнение на FASV е по-голямо. Това се дължи на факта, че при реализацията са използвани готови програми на MATLAB за намиране на собствени вектори и собствени стойности и за LU факторизация на матрици, както и специални структури за съхраняване на матриците $A^{(k,s)}$ и векторите $\mathbf{f}^{(k,s)}$ и $\mathbf{x}^{(k,s)}$.

Проследявайки по какъв начин се изменят времената за изпълнение на SV и FASV, може да се предположи, че при $n \geq 4095$ времето за изпълнение на FASV ще е по-малко от това за изпълнение на SV. Това е трудно да се провери, тъй като средата на MATLAB, веднъж заела голямо количество памет, при изчистване на ненужните променливи не освобождава по-голямата част от паметта.

При сравняване на резултатите от изпълнението на FASV за **Пример 1** с тези получени от T. Rossi [3] (таблица 4.4) за същия пример се вижда, че греш-

Таблица 4.4: Резултати за пример 1 на T. Rossi

n	h	сри	Макс. грешка
31	1/32	0.006	8.04e-04
63	1/64	0.027	2.01e-04
127	1/128	0.124	5.02e-05
255	1/256	0.619	1.25e-05
511	1/512	2.841	3.14e-06
1023	1/1024	12.870	7.84e-07
2047	1/2047	58.500	1.96e-07

ката е почти същата, но с MATLAB времето за изпълнение е много по-голямо.

Тъй като най-често решаването на елиптични задачи с разделящи се променливи (чрез метода FASV) се използва на някои от стъпките за решаването на по-сложни задачи, факторът време за намиране на решението е от особено значение. Получените времена показват, че не е препоръчително да се използва MATLAB за решаване на големи и сложни задачи.

Библиография

- [1] O. AXELSON, P. VASSILEVSKI, "Solutin of equations R^n (part II) Iterative solution of linear systems", in: P. Ciarlet, J. Lions(Eds), Handbook on Numerical Methods, North Holland, **1996**, to appear.
- [2] SV. PETROVA, "Parallel implementation of fast elliptic solver", Parallel Computing 23(**1997**) 1113-1128.
- [3] T. ROSSI, "Fictitious domain methods with separable preconditioners", University of Jyväskylä, Department of mathematics, report 69, **1995**.
- [4] А. А. САМАРСКИЙ, "Теория разностных схем", Москва, "Наука", **1983**.
- [5] Б. Н. ПАРЛЕТ, "Симметричная проблема собственных значений, Численные методы", Москва, "Мир", **1983**.
- [6] R. E. BANK AND D. J. ROSE, "Marching algorithms for elliptic boundary value problems. I: The constant coefficient case ", SIAM J. Numer. Anal., 14 (**1977**) pp.792-829.
- [7] R. E. BANK , "Marching algorithms for elliptic boundary value problems. II: The variable coefficient case ", SIAM J. Numer. Anal., 14 (**1977**) pp.950-970.

Приложение

Програми на MATLAB за реализация на методите SV и FASV за числено решаване на елиптически уравнения с разделящи се променливи.